

กำลังอัดของถนนที่ซ่อมแซมโดยเทคนิคการหมุนเวียน

วัสดุชั้นทางเดิมมาใช้ใหม่

นายมงคล ตันตีย์

โครงการนี้เป็นส่วนหนึ่งของการศึกษาตามหลักสูตรวิគฤตศาสตรมหาบัณฑิต

การบริหารงานก่อสร้างและสารสนเทศปีภาค

สาขาวิគฤตโยธา สำนักวิชาวิគฤตศาสตร์

มหาวิทยาลัยเทคโนโลยีสุรนารี

ปีการศึกษา 2553

กำลังอัดของถนนที่ซ่อมแซมโดยเทคนิคการหมุนเวียน

วัสดุชั้นทางเดิมมาใช้ใหม่

มหาวิทยาลัยเทคโนโลยีสุรนารี อนุมัติให้นับโครงการมหาบัณฑิตบัณฑิตนี้เป็นส่วนหนึ่ง
ของการศึกษาตามหลักสูตรปริญญามหาบัณฑิต

คณะกรรมการสอบโครงการ

(ศ. ดร. สุขสันติ์ หอพินิจสุข)

ประธานกรรมการ

(ผศ. ดร. อวิรุทธิ์ ชินกุลกิจนิวัฒน์)

กรรมการ (อาจารย์ที่ปรึกษาโครงการ)

(ผศ. ดร. พรศิริ คงกล)

กรรมการ

(รศ. น.อ. ดร. วรพจน์ ข้าพิศ)

คณบดีสำนักวิชาบริหารศาสตร์

งค์ ดัชนี : กำลังอัดของถนนที่ซ่อมแซมโดยเทคนิคการหมุนเวียนวัสดุชั้นทางเดิมมาใช้ใหม่ (COMPRESSIVE STRENGTH OF REPAIRED ROAD BY RECYCLING TECHNIQUE OF PAVEMENT MATERIALS) อาจารย์ที่ปรึกษา : ผู้ช่วยศาสตราจารย์ ดร.อวิรุทธิ์ ชินกุลกิจนิวัฒน์

งานวิจัยนี้ศึกษากำลังอัดของถนนดินซีเมนต์ที่ใช้เทคนิคการหมุนเวียนวัสดุชั้นทางเดิมมาใช้ใหม่ โดยศึกษาด้านเปyxของความชื้นเหมาะสมสำหรับอัด กำลังอัดของตัวอย่างที่ดำเนินการจากในสนามและห้องปฏิบัติการจะถูกวิเคราะห์โดยใช้หลักการทำงานสติติ ซึ่งบ่งชี้ว่าปัจจัยหลักที่มีผลให้เกิดความแตกต่างกันของกำลังอัดดินซีเมนต์ในสนามและในห้องปฏิบัติการ คือ วิธีการบ่มที่แตกต่างกัน

ในทางกลับกัน หากต้องการปรับกำลังอัดในสนามให้ใกล้เคียงกับกำลังอัดในห้องปฏิบัติการ โดยไม่เปลี่ยนแปลงวิธีการดำเนินการ ต้องใช้ตัวคูณเท่ากับ 2 ทั้งนี้เพื่อเพิ่มความถูกต้องของการออกแบบ แนะนำให้ใช้แบบจำลองที่พัฒนาขึ้นใหม่ ซึ่งมีประสิทธิภาพในเรื่องของความประยุกต์เพราลคลดค่าใช้จ่าย จากจำนวนครั้งและเวลาในการทดสอบที่ลดลง แบบจำลองดังกล่าวมีความถูกต้องมากกว่าแบบเดิมเนื่องจากค่า r^2 เท่ากับ 0.90 ซึ่งมากกว่าของเดิม

MONGKOL DUCHANEE: COMPRESSIVE STRENGTH OF REPAIRED
ROAD BY RECYCLING TECHNIQUE OF PAVEMENT. THESIS
ADVISOR : ASST. PROF. AVIRUT CHINKULKIJNIWAT, Ph.D.

The study is aimed to investigate compressive strength of cement stabilized recycled pavement aggregate compacted at wet side of the optimum water content using pavement recycling technique. Results from field and laboratory specimens were analyzed in statistically manner. It is found that the major factor controlling difference between laboratory and field strengths is curing process.

Subsequently, a factor of 2.0 is recommended for adjusting laboratory design strength from the desired field strength. To enhance accuracy of mix design strength, a modified phenomenological model is introduced. This model is helpful because it saves cost and time. The model is proved being powerful in accuracy of predicting compressive strength with r^2 of 0.90.

กิตติกรรมประกาศ

วิทยานิพนธ์ฉบับนี้สำเร็จลุล่วงไปได้ ผู้วิจัยต้องขอกราบขอบคุณ กลุ่มนักคณาจารย์ ที่กรุณารับฟังและนำเสนอให้คำปรึกษา ช่วยเหลือทั้งในด้านวิชาการ และพลังของจิตใจ

ขอขอบคุณผู้ช่วยศาสตราจารย์ ดร.อวิรุทธิ์ ชินกุลกิจนิเวศน์ อาย่างสุดซึ้งที่กรุณารับเป็นอาจารย์ที่ปรึกษา ให้ทั้งความรู้ คำแนะนำ ตลอดจนข้อมูลที่มีคุณค่า ลากูง กระตุ้นจนกระตุ้นสำเร็จเป็นขึ้นงานนี้ได้

ศาสตราจารย์ ดร.สุขสันติ์ หอพิมุลสุข ผู้แนะนำให้มาสมัครเรียน และเป็นอาจารย์ผู้สอน คณาจารย์ประจำภาควิชาวิศวกรรมโยธา อาจารย์ผู้สอนทั้งในส่วนของมหาวิทยาลัยเทคโนโลยีสุรนารี และบุคลากรผู้มีความรู้จากภายนอก

ท่าน พอ.ทวี แสงสุวรรณ โภ ผู้อำนวยการกลุ่มวิเคราะห์ ทดสอบและควบคุมคุณภาพ ดำเนินการวิเคราะห์วิจัยและพัฒนา กรมทางหลวงชนบท ที่อนุเคราะห์ข้อมูลที่มีคุณค่าสำหรับใช้เป็นข้อมูลในงานวิจัย

เพื่อน ๆ ร่วมชั้นเรียนทุกท่าน ที่ร่วมกันฟันฝ่า นำเรื่องค้นของสาขาวิชา จนกระทั้งถึงฝันในโลกของความเป็นจริง

ท้ายที่สุดขอกราบขอบพระคุณ คุณพ่อจำนวนค์ คุณแม่เล็ก ดัช涅ีย์ผู้เป็นบุพการี ที่ท่านกรุณาให้ ความรัก ความเอาใจใส่ และสั่งสอนอบรม สนับสนุนให้การศึกษาฯ ได้มีผลลัพธ์ ทั้งในด้านคุณธรรม จริยธรรม และลูกน้อยที่เคยเป็นกำลังใจให้ต่อสู้แม้ในยามเหนื่อยล้าหมัดแรง สุดท้ายขอขอบคุณบุคคลที่อยู่ในครอบครัวดัช涅ีย์ และครอบครัวบุญเจنمทุกท่านที่ให้ความรักและความอบอุ่นเรื่อยมา

มงคล ดัช涅ีย์

สารบัญ

	หน้า
บทคัดย่อภาษาไทย	ก
บทคัดย่อภาษาอังกฤษ	ข
กิตติกรรมประกาศ	ค
สารบัญ	ง
สารบัญตาราง	น
สารบัญรูปภาพ	ช
คำอธิบายสัญลักษณ์และคำย่อสำหรับการทำนายกำลังอัด	ฉ
คำอธิบายสัญลักษณ์และคำย่อทางสถิติ	ญ
บทที่	
1 บทนำ	1
1.1 ความสำคัญของปัญหา	1
1.2 วัตถุประสงค์การวิจัย	2
1.3 ขอบเขตการวิจัย	3
1.4 ประโยชน์ที่คาดว่าจะได้รับ	4
1.4.1 องค์ความรู้ในการวิจัยต่อไป	4
1.4.2 ด้านเศรษฐศาสตร์	4
1.4.3 ด้านเทคนิคการก่อสร้างในอนาคต	4
2 ปริทัศน์วรรณกรรมและงานวิจัยที่เกี่ยวข้อง	5
2.1 บทนำ	5
2.2 ประวัติความเป็นมาของถนนคินซีเมนต์	5
2.3 ประเภทของคินซีเมนต์	6
2.4 กลไกของการปรับปรุงคุณสมบัติของคินซีเมนต์	7
2.5 โครงสร้างของคินซีเมนต์	9
2.6 ปัจจัยหลักที่มีอิทธิพลต่อกำลังของคินซีเมนต์	10
2.6.1 ปริมาณและประเภทของซีเมนต์	10
2.6.2 ชนิดของดิน	12
2.6.3 ปริมาณความชื้นขณะทำการบดอัด	18

2.6.4 การบ่มดินซีเมนต์	19
2.6.5 ระยะเวลาในการผสม	20
2.6.6 สารผสมเพิ่ม	22
2.7 กำลังของดินซีเมนต์	23
2.8 การนำวัสดุเก่ามาใช้ใหม่ (Recycling)	24
2.9 สมการทำงานของกำลังอัดของดินซีเมนต์	27
2.10 สมการทำงานของกำลังของการนำวัสดุเก่ามาใช้ใหม่ (Recycling)	29
3 วิธีดำเนินการทำโครงงาน	34
3.1 ชนิดของข้อมูลและแหล่งข้อมูล	34
3.2 ตัวแปรที่ใช้ในงานวิจัยนี้	34
3.3 สถิติที่ใช้ในการวิจัย	35
3.3.1 ข้อมูลสถิติเบื้องต้น	35
3.3.2 สถิติที่ใช้ทดสอบสมมุติฐาน	35
3.4 การจัดทำข้อมูลและวิเคราะห์ผล	36
3.4.1 การวิเคราะห์ข้อมูลเชิงคุณภาพ	36
3.4.2 การวิเคราะห์ข้อมูลเชิงปริมาณ	36
3.4.3 การวิเคราะห์ข้อมูลเชิงเปรียบเทียบ	36
4 ผลการศึกษาและวิเคราะห์ผล	37
4.1 บทนำ	37
4.2 การทดสอบปัจจัยที่มีผลต่อกำลังรับแรงของดินซีเมนต์	37
4.3 แบบจำลองเพื่อทำงานของกำลังรับแรงอัด โดยการวิเคราะห์ความถดถอย	40
5 บทสรุป	50
เอกสารอ้างอิง	51
ประวัติผู้เขียน	56

สารบัญตาราง

ตารางที่	หน้า
2.1 ปริมาณซีเมนต์ที่ใช้ปรับปรุง ตามการจำแนกแบบ ASSHTO	16
2.2 ปริมาณซีเมนต์โดยประมาณในการทดสอบ สำหรับวัสดุต่างๆ	17
2.3 แนวทางการเลือกวัสดุผสมเพิ่ม (Additive) กับวัสดุแต่ละชนิด	23
2.4 เปรียบเทียบข้อใดกับข้อใด เปรียบเทียบทางเศรษฐศาสตร์ของ Cold recycling process กับ Conventional method	27
4.1 สถิติตรวจสอบการแจกแจงโดยวิธี Kolmogorov-Smirnov tests ของ q_{ufr} และ q_{ulf}	37
4.2 สถิติการทดสอบ Independent samples test to compare means ของ q_{ufr} และ q_{ulf}	38
4.3 สถิติการทดสอบการแจกแจงแบบไม่ปกติแบบ Mann-Whitney test ของ q_{ul} และ q_{ufr}	39
4.4 สถิติการทดสอบแบบ Kolmogorov-Smirnov goodness-of-fit ของ $\frac{q_{ufr}}{q_{ul}}$	39
4.5 กำลังรับแรงอัดในห้องปฏิบัติการ Lateritic soil (Ruenkrairergsa และคณะ, 2001) ...	47

สารบัญรูปภาพ

รูปที่	หน้า
2.1 โครงสร้างของดินซีเมนต์	10
2.2 ความสัมพันธ์ของค่าดัชนีพลาสติก (Plasticity index) กับเวลา (Time)	13
2.3 ค่าพิกัดอัตตะเบิร์ก (Atterberg's limit) ของดินไอโวอา (Iowa) หลังเกิดปฏิกิริยาไไซเดอร์ชัน 1 ชั่วโมง	14
2.4 อิทธิพลของแร่ดินเหนียวที่มีต่อกำลังอัดแกนเดียวของดินซีเมนต์ปริมาณซีเมนต์ 8%	15
2.5 อิทธิพลของแร่ดินเหนียวที่มีต่อกำลังอัดแกนเดียวของดินซีเมนต์ ปริมาณซีเมนต์ 12 %	15
2.6 อิทธิพลของแร่ดินเหนียวที่มีต่อกำลังอัดแกนเดียวของดินซีเมนต์ ปริมาณซีเมนต์ 16 %	16
2.7 อิทธิพลของการหน่วงเวลาการทดสอบระหว่างทดสอบชีนและการบดอัด ที่มีต่อกำลังอัดของดินซีเมนต์	21
2.8 การสูญเสียกำลังอัดของดินซีเมนต์เนื่องจากการใช้เวลาในการบดอัดนานขึ้น	21
2.9 ความสัมพันธ์ระหว่าง Initial tangent modulus in tension กับกำลังดึง และกำลังอัดของดินซีเมนต์	24
2.10 ความสัมพันธ์ระหว่าง Direct tensile strength กับ Unconfined compressive strength ของดินซีเมนต์	25
2.11 การเพิ่มขึ้นของกำลังรับแรงอัดแกนเดียวของดินซีเมนต์	29
2.12 ความสัมพันธ์ระหว่างค่าอัตราส่วนระหว่างปริมาณความชื้นในดินต่อ ปริมาณซีเมนต์ (w_c / c) กับกำลังอัดของดินซีเมนต์ (Horpibulsuk et al., 2006)	30
2.13 ความสัมพันธ์ระหว่างกำลังอัดแกนเดียวกับอายุปั่นของ Lateritic soil (Horpibulsuk et al., 2006)	31
2.14 ความสัมพันธ์ระหว่างกำลังอัดแกนเดียวกับอายุปั่นของ Crushed rock (Horpibulsuk et al., 2006)	32
4.1 ความสัมพันธ์ระหว่างค่า q_u , w/C และเวลาบ่ม D ของดินลูกรัง	41
4.2 ความสัมพันธ์ระหว่างค่า q_u , w/C และเวลาบ่ม D ของหินคลุก	41
4.3 ความสัมพันธ์ระหว่างกำลังอัดแกนเดียวกับอายุปั่นของ Lateritic soil	42
4.4 ความสัมพันธ์ระหว่างกำลังอัดแกนเดียวกับอายุปั่นของ Crushed rock	43

4.5	ความสัมพันธ์ระหว่าง A' , B และ w/C ของ Lateritic soil.....	44
4.6	ความสัมพันธ์ระหว่าง A' , B และ w/C ของ Crushed Rock.....	45
4.7	ความสัมพันธ์ระหว่าง A และ w/C ของ Lateritic soil และ Crushed Rock.....	46
4.8	เปรียบเทียบผลการทำนายกำลังรับแรงอัด เทียบกับ เส้น 1:1.....	49

คำอธิบายสัญลักษณ์และคำย่อสำหรับการทำนายกำลังอัด

A	=	ค่าคงที่ขึ้นอยู่กับชนิดของดิน
A'	=	ค่าคงที่ขึ้นอยู่กับชนิดของดิน
ASSHTO	=	American Association of State Highway and Transportation Officials
ASTM	=	American Society for Testing and Materials
B	=	ค่าคงที่ขึ้นอยู่กับชนิดของดิน
B'	=	ค่าคงที่ขึ้นอยู่กับชนิดของดิน
C	=	Cement content
CBR	=	California bearing ratio
D	=	อายุบ่ม, วัน
GC	=	กรวดที่มีคินเนียปน
GW-GM	=	กรวดปนดินตะกอนที่มีขนาดคละดี
LL	=	จุดจำกัดเหลว (Liquid limit)
MDD	=	ความหนาแน่นแห้งสูงสุด (Maximum dry-density)
OMC	=	ปริมาณความชื้นเหมาะสม (Optimum moisture content)
PCA	=	Portland Cement Association
PI	=	ดัชนีสภาพพลาสติก (Plasticity index)
PL	=	จุดจำกัดพลาสติก (Plastic limit)
SC	=	ทรายที่มีคินเนียปน
SM	=	ทรายปนดินตะกอน
SP	=	ทรายขนาดคละไม่ดี
SW	=	ทรายขนาดคละดี
SW-SM	=	ทรายปนดินตะกอนที่มีขนาดคละดี
USCS	=	Unified Soil Classification System
UTM	=	เครื่องทดสอบแรงอัดแกนเดียว (Universal testing machine)
a	=	ค่าคงที่ขึ้นอยู่กับชนิดของดิน
b	=	ค่าคงที่ขึ้นอยู่กับชนิดของดิน
pH	=	ดัชนีความเป็นกรดเป็นด่าง
q_{28}	=	กำลังอัดแกนเดียวของดินซีเมนต์ที่อายุบ่ม 28 วัน

q_D	=	กำลังอัดแกนเดียวของดินซีเมนต์ที่อายุบ่ำ D วัน
q_u	=	กำลังอัดแกนเดียวที่ระยะบ่ำค่าหนึ่ง
q_{ul}	=	กำลังอัดแกนเดียวที่ทดสอบได้ในห้องปฏิบัติการ
q_{ulp}	=	กำลังอัดแกนเดียวในห้องปฏิบัติการที่ทำนายได้โดยอาศัยสมการ
q_{up}	=	กำลังอัดแกนเดียวที่ทำนายได้โดยอาศัยสมการ
q_{fh}	=	กำลังอัดแกนเดียวของดินซีเมนต์ที่ผสมในสนาમแต่บดอัดในห้องปฏิบัติการ
q_{fr}	=	กำลังอัดแกนเดียวของดินซีเมนต์ที่ผสมที่ผสมและบดอัดในสนาມ
$q_{(w_c/C)_{l,D}}$	=	กำลังอัดแกนเดียวของดินซีเมนต์ที่ต้องการทราบที่ w_c / C หลังจากระยะบ่ำ D วัน
$q_{(w_c/C)_{28}}$	=	กำลังอัดแกนเดียวของดินซีเมนต์ที่ต้องการทราบที่ w_c / C หลังจากระยะบ่ำ 28 วัน
w	=	Moisture content
w_c / C	=	อัตราส่วนระหว่างปริมาณความชื้นในดินต่อปริมาณซีเมนต์ (Clay-water/Cement Ratio)
w / C	=	อัตราส่วนระหว่างปริมาณความชื้นในดินต่อปริมาณซีเมนต์ (Clay-water/Cement Ratio)
w_{fh}	=	ปริมาณความชื้นดินตัวอย่างที่ผสมในสนาມและบดอัดในห้องปฏิบัติการ
α	=	ค่าคงที่ชื่นอยู่กับชนิดของดิน
β	=	ค่าคงที่ชื่นอยู่กับชนิดของดิน
γ_{dhf}	=	หน่วยน้ำหนักแห้งของตัวอย่างที่ผสมในสนาມและบดอัดในห้องปฏิบัติการ
γ_{dfr}	=	หน่วยน้ำหนักแห้งของดินตัวอย่างที่เกิดจากการผสมในสนาມและบดอัดด้วยระบบอัด
$\gamma_{d\max}$	=	หน่วยน้ำหนักแห้งสูงสุด

คำอธิบายสัญลักษณ์และคำจำกัดความ

F	=	ความน่าจะเป็นแบบเชิงเส้น
$F(x)$	=	ความน่าจะเป็นสะสมของตัวอย่าง
H_0	=	สมมติฐานว่าง
H_1	=	สมมติฐานแย้ง
$S(x)$	=	ความน่าจะเป็นสะสมภายใต้สมมติฐานว่าง
SD	=	ส่วนเบี่ยงเบนมาตรฐาน
Ti	=	$\sum X_{ij}$
\bar{X}_i	=	ค่าเฉลี่ยประชากร i
Z	=	ความน่าจะเป็นแบบปกติ
d_0	=	ค่าแตกต่างกันของค่าเฉลี่ยประชากรกลุ่มที่ 1 กับกลุ่มที่ 2
d_i	=	$X_{1i} - X_{2i}$
\bar{d}	=	ค่าเฉลี่ยของค่าแตกต่างกันประชากรกลุ่มที่ 1 กับกลุ่มที่ 2
k	=	จำนวนกลุ่มประชากร
n_i	=	จำนวนประชากร i
t	=	ความน่าจะเป็นแบบที
α	=	ระดับนัยสำคัญ
σ_i^2	=	ความแปรปรวนของประชากร i
μ_i	=	ค่าเฉลี่ยของประชากร i

บทที่ 1

บทนำ

1.1 ความสำคัญของปูนหิน

ถนนที่ก่อสร้างและถูกใช้งานมาระยะหนึ่ง มักจะเกิดความเสียหายเนื่องจากรับน้ำหนักของยานพาหนะ หรือการเสื่อมสภาพของวัสดุเอง เช่นการหลุดร่อง การเกิดร่องล้อ และรอยแตกแบบต่างๆ จึงมีความจำเป็นอย่างยิ่งที่จะต้องได้รับการซ่อมแซม บำรุงรักษา เพื่อให้ถนนอยู่ในสภาพที่ดีและพร้อมใช้งานอยู่เสมอ งานซ่อมบำรุงแบ่งออกเป็น 2 งานหลักๆ คือการแก้ไข และการซ่อมบำรุง การซ่อมบำรุงทำให้ถนนกลับมาใช้งานได้ตามปกติ และมีอายุการใช้งานได้ยาวนานขึ้น อันได้แก่ การลดแรงที่จะเกิดในถนน โดยการจำกัดแรงดันลมยาง และน้ำหนักของรถบรรทุก การเสริมผิวทางเพื่อทำให้ผิวทางเรียบไม่เป็นคลื่น และการเพิ่มความแข็งแรงของถนน โดยเพิ่มความหนาของชั้นทางและผิวทาง ส่วนการซ่อมแซมสามารถทำได้โดยการการรื้อผิวทางเก่าออกแล้วก่อสร้างใหม่ให้สามารถรับน้ำหนักบรรทุก และปริมาณการจราจรที่เพิ่มขึ้นได้ตามต้องการ นอกจากนี้การหมุนเวียนวัสดุชั้นทางเดิมมาใช้งานใหม่ (Pavement Recycling) ก็เป็นทางเลือกที่น่าสนใจเนื่องจากสามารถทำงานได้เร็วไม่บกวนพื้นที่จราจรมาก วิธีนี้ถูกนำมาใช้ในประเทศไทยโดยกรมทางหลวงแห่งประเทศไทย นำมาทดลองปรับใช้ตั้งแต่ปี 1965 การหมุนเวียนวัสดุชั้นทางเดิมมาใช้งานใหม่ทำได้โดยบดหรือวัสดุในชั้นทางและผิวทางเดิมขึ้นมาผสมใหม่ โดยเพิ่มหินคลุก ราย กรวด พร้อมทั้งเติมวัสดุผสมเพิ่ม (Additive) เช่น ปูนซีเมนต์ ปูนขาว และฟลิตเตอร์ เข้าไป

ถึงแม้ว่ามีการใช้เทคนิคการหมุนเวียนวัสดุชั้นทางเดิมมาใช้งานใหม่มาเป็นเวลานานแล้ว ทั้งในประเทศไทยและต่างประเทศ แต่ในการออกแบบส่วนผสมยังทำในลักษณะเดิมๆ ก่อร่องคือจะเป็นการทดสอบแบบกึ่งกลองผิดกลองถูกเพื่อหาส่วนผสมที่เหมาะสมในการนำไปใช้ นอกจากนี้ยังไม่ได้คำนึงถึงความแตกต่างระหว่างกำลังของตัวอย่างที่เตรียมในห้องปฏิบัติการ และกำลังของตัวอย่างในสนาม ทำให้เสียค่าใช้จ่ายและเวลาในการทดสอบมากเกินไป ในปี ค.ศ. 2003 Horpibulsuk และคณะ พนวิ่งกำลังของดินแต่ละชนิดที่ผสมกับซีเมนต์ขึ้นอยู่กับตัวแปรเพียงตัวเดียว คือ อัตราส่วนระหว่างปริมาณความชื้นในดินต่อปริมาณซีเมนต์ (w/c) และยังพบอีกว่าการพัฒนากำลังของดินซีเมนต์มีความสัมพันธ์เชิงเส้นกับลักษณะของอายุการบ่ม ต่อมาในปี ค.ศ. 2006 Horpibulsuk และคณะ ได้ทำการศึกษากำลังของดินลูกรัง (Lateritic soil) และหินคลุก (Crushed rock) ผสมซีเมนต์โดยเทคนิคการหมุนเวียนวัสดุชั้นทางเดิมมาใช้งานใหม่ ในงานวิจัยนี้ได้แยกกำลังของดินซีเมนต์ออกตามวิธีการเตรียมตัวอย่าง ได้แก่ กำลังของดินซีเมนต์บดอัดในห้องปฏิบัติการ

(Laboratory strength, q_{ul}) กำลังของดินซีเมนต์ที่ผสมในสนา�แต่บดอัดในห้องปฏิบัติการ (Field hand compacted strength, q_{fh}) และกำลังของดินซีเมนต์ที่ผสมและบดอัดในสนา� (Field roller compacted strength, q_{fr}) Horpibulsuk และคณะ (2006) พบว่ากำลังของดินซีเมนต์ในสนา� จะมีค่าต่ำกว่ากำลังของดินซีเมนต์บดอัดในห้องปฏิบัติการ เป็นผลมาจากการเหตุปัจจัยหลัก ได้แก่ การผสม การบดอัด และการบ่ม และในงานวิจัยเดียวกันนี้ Horpibulsuk และคณะ (2006) ยังได้นำเสนอสัดส่วนระหว่างกำลังของดินซีเมนต์ประเภทต่างๆเพื่อนำไปใช้ในการปรับแก้จากกำลังดินซีเมนต์ในสนาમเป็นกำลังดินซีเมนต์ในห้องปฏิบัติการ โดยกำลังของดินซีเมนต์ในสนาમคือกำลังที่ต้องการหรือกำลังออกแบบ ส่วนกำลังของดินซีเมนต์ในห้องปฏิบัติการจะถูกนำไปใช้ในการออกแบบส่วนผสม

งานวิจัยของ Horpibulsuk และคณะ (2006) นับว่ามีประโยชน์ในทางปฏิบัติอย่างมากในงานหมุนเวียนวัสดุชั้นทางเดินมาใช้งานใหม่ อย่างไรก็ตามแบบจำลองที่เสนอ จะใช้กำลังอัดของดินซีเมนต์ที่มีอายุการบ่ม 28 วัน เป็นตัวหาร ส่งผลให้แบบจำลองได้ผลการคำนวณที่มีค่าคลาดเคลื่อนมากยิ่งขึ้นเมื่ออายุการบ่มออกห่างจาก 28 วัน ทั้งนี้ในทางปฏิบัติจะใช้กำลังอัดที่ 7 วันในการออกแบบและตรวจสอบ ทั้งในห้องปฏิบัติการและในสนาમ นอกจากนี้ระหว่างการหมุนเวียนวัสดุชั้นทางเดินมาใช้งานใหม่ เครื่องจักรจะกัดผิวทางขึ้นมาพอสมควรบดอัดใหม่ ทั้งนี้ความหนาของผิวทางที่แตกต่างกัน ย่อมส่งผลต่อกำลังอัดของดินซีเมนต์ด้วย ความหนาของผิวทางจึงเป็นปัจจัยควบคุมสำคัญตัวหนึ่ง หากสามารถพัฒนาแบบจำลองโดยต่อยอดแนวความคิดของแบบจำลองที่เสนอโดย Horpibulsuk และคณะ (2006) โดยลดความคลาดเคลื่อนของกำลังอัดที่ทำนายได้ที่อายุบ่มต่าง ๆ ครอบคลุมทุกประเภทของดินและทุกความหนาของผิวนนที่ใช้งานในประเทศไทย ก็จะเพิ่มประสิทธิภาพในงานซ่อมถนน โดยการหมุนเวียนวัสดุชั้นทางเดินมาใช้ใหม่ นอกจากนี้เนื่องจากข้อมูลที่เก็บได้มีจำนวนมากพอ ผู้วิจัยคาดว่าจะสามารถนำหลักสถิติตามช่วยวิเคราะห์ความสำคัญของแต่ละปัจจัยควบคุมซึ่งมีผลต่อกำลังดินซีเมนต์ในสนาમ ได้แก่ การผสม การบดอัด และการบ่ม ซึ่งจะเป็นประโยชน์ต่อวิศวกรที่เกี่ยวข้องอย่างมาก ในการควบคุมคุณภาพงาน ได้ดีขึ้น

1.2 วัตถุประสงค์การวิจัย

- 1.2.1 เพื่อร่วบรวมข้อมูลดินซีเมนต์ในงานหมุนเวียนวัสดุชั้นทางเดินมาใช้งานใหม่จากสถานที่ก่อสร้างทั่วประเทศไทย
- 1.2.2 เพื่อศึกษาอิทธิพลของปัจจัยควบคุมที่ส่งผลกระทบต่อการลดลงของกำลังดินซีเมนต์ในสนาમ

- 1.2.3 เพื่อพัฒนาแบบจำลองสำหรับการออกแบบส่วนผสมดิน ซีเมนต์ น้ำ ที่เหมาะสม และมีความแม่นยำมากยิ่งขึ้นในการทำนายกำลังอัด และใช้ได้กับงานหมุนเวียน วัสดุชั้นทางเดินมาใช้งานใหม่ในประเทศไทย

1.3 ขอบเขตการวิจัย

แยกขอบเขตการวิจัยได้เป็น 3 หัวข้อดังนี้

- 1.3.1 ทดสอบหรือรวบรวมข้อมูลกำลังของดินบดอัดในห้องปฏิบัติการ (q_{ul}) กับปัจจัย ควบคุมได้แก่ ชนิดของดิน ความหนาของชั้นผิวทางที่กดขึ้นมา และอัตราส่วน ระหว่างปริมาณความชื้นในดินต่อปริมาณซีเมนต์ ทั้งนี้ในการศึกษาจะใช้ดินสอง ชนิดคือดินลูกรัง และหินคลุก ส่วนความหนาของชั้นผิวทางจะมีตั้งแต่ความหนา เท่ากับ 0 เซนติเมตร 3 เซนติเมตร 4 เซนติเมตร และ 5 เซนติเมตร สำหรับ อัตราส่วนระหว่างปริมาณความชื้นในดินต่อปริมาณซีเมนต์จะอยู่ในช่วงระหว่าง 0.83-10.40
- 1.3.2 สำหรับ ความสัมพันธ์ระหว่างกำลังดินบดอัดในสนามกับกำลังดินบดอัดใน ห้องปฏิบัติการ จะแยกกำลังของดินบดอัดออกเป็น 3 ประเภท ตาม Horpibulsuk และคณะ (2006) ได้แก่ กำลังของดินซีเมนต์บดอัดในห้องปฏิบัติการ (q_{ul}) กำลัง ของดินซีเมนต์ที่ผสมในสนามแต่บดอัดในห้องปฏิบัติการ (q_{fh}) และกำลังของ ดินซีเมนต์ที่ผสมและบดอัดในสนาม (q_{fr})
- 1.3.3 สำหรับการศึกษาอิทธิพลที่มีผลต่อการลดลงของกำลังดินบดอัดในสนาม ได้แก่ การผสม การบดอัด และการบ่ม ทำการศึกษาผ่านความสัมพันธ์ระหว่างกำลัง ของดินซีเมนต์บดอัดในห้องปฏิบัติการ (q_{ul}) กำลังของดินซีเมนต์ที่ผสมใน สนามแต่บดอัดในห้องปฏิบัติการ (q_{fh}) และกำลังของดินซีเมนต์ที่ผสมและบด อัดในสนาม (q_{fr})

1.4 ประโยชน์ที่คาดว่าจะได้รับ

1.4.1 องค์ความรู้ในการวิจัยต่อไป

เป็นการสร้างทฤษฎีของการปรับปรุงกำลังของคินดี้ชีเมนต์ ที่รวมปัจจัยต่างๆ ที่มีผลต่อการเพิ่มขึ้นของกำลังคินดินชีเมนต์ ซึ่งได้แก่ ชนิดของคิน ปริมาณความชื้น ปริมาณชีเมนต์ ระยะเวลาในการบ่ม ซึ่งการศึกษานี้จะเป็นต้นแบบเพื่อให้นักวิจัยที่สนใจ ได้นำความรู้ไปประยุกต์ใช้ในงานวิจัยระดับสูงต่อไป

1.4.2 ด้านเศรษฐศาสตร์

ผู้วิจัยจะนำเสนอทฤษฎีและสมการที่ใช้ในการทำนายกำลังของคินชีเมนต์ ซึ่งจะมีประโยชน์อย่างมากสำหรับการออกแบบในการกำหนดปริมาณส่วนผสมต่างๆ รวมทั้งลดจำนวนครั้งสุ่มห้าปริมาณที่เหมาะสม พิริ่อมทั้งวางแผนระยะเวลาในการก่อสร้างให้สอดคล้องกับข้อกำหนด อีกทั้งสามารถประมาณกำลังของคินชีเมนต์จากข้อมูลและเวลาที่มีอยู่อย่างจำกัดได้พร้อมทั้งใช้ตรวจสอบความถูกต้องของผลการทดสอบที่ได้จากการทดสอบที่ห้องปฏิบัติการ

1.4.3 ด้านเทคนิคการก่อสร้างในอนาคต

ผู้วิจัยจะนำเสนอข้อมูล อิทธิพลของปัจจัยควบคุม การผสม การบดอัด และการบ่ม ที่ส่งผลกระแทบท่อการลดลงของกำลังคินดินชีเมนต์ในสนา� พิริ่อมทั้งเสนอวิธีการควบคุม เพื่อให้กำลังในสนาમมีค่าใกล้เคียงกับในห้องปฏิบัติการ

บทที่ 2

ปริทัศน์วรรณกรรมงานวิจัยที่เกี่ยวข้อง

2.1 บทนำ

การปรับปรุงคุณภาพของดินให้มีกำลังอัดสูงขึ้น สามารถทำได้หลายวิธี เช่น การลดช่องว่างระหว่างเม็ดดินด้วยการบดอัด การลดความสามารถในการซึมผ่านน้ำของดิน การทำให้อนุภาคดินเป็นก้อนใหญ่ (Flocculation) หรือการทำให้ดินมีขนาดคละที่ต่ำขึ้น และการเติมสารเชื่อมประสาน ในบทนี้จะทบทวนงานวิจัยปรับปรุงดินซีเมนต์

2.2 ประวัติความเป็นมาของดินซีเมนต์

กล่าวกันว่าความคิดเรื่องการปรับปรุงคุณภาพของดิน ด้วยการใช้สารผสมเพิ่มมีมาต้นกว่า 5000 ปีแล้ว โดยการผสมดินกับปูนขาว ซึ่งเป็นการปรับปรุงคุณสมบัติทางค้านวิศวกรรมของดินให้ดีขึ้น (Terrel et al., 1797)

Davidson (1961) กล่าวถึงวิวัฒนาการของดินซีเมนต์ไว้ในคำนำใน Highway Research Bulletin ว่าเริ่มต้นในปี ค.ศ. 1915 เมื่อการก่อสร้างถนน Oak ในเมือง Sarasota รัฐ Florida ประสบปัญหาเครื่องผสมคอนกรีตเสียหายไม่สามารถใช้งานได้ ถนน Oak จึงถูกสร้างโดยการขุดเอาดิน Shell จากอ่าวขึ้นมาผสมกับทรายและซีเมนต์แล้วทำการบดอัดด้วยรถบด ไอน้ำที่มีน้ำหนัก 10 ตัน แทนการหานนคอนกรีตร้าวๆ ปี ค.ศ. 1920 หน่วยงานที่เกี่ยวข้องกับถนน ในประเทศรัฐ Iowa, South Dakota, Ohio, California และ Texas ได้เริ่มทดลองก่อสร้างถนนดินซีเมนต์ แต่ผลการทดลองที่ได้มีความผันแปรอย่างมากจนไม่สามารถคาดการผลลัพธ์ได้ เนื่องจากความรู้ความเข้าใจเรื่องคุณสมบัติทางวิทยาศาสตร์ของดินในขณะนั้นยังมีน้อยมาก

Mills (1935, 1936) ได้รายงานผลการค้นคว้าของ South Carolina State Highway Department ในปี ค.ศ. 1932 โดย Dr. C.H. Moorefield ได้ทำการศึกษาส่วนผสมของดินกับซีเมนต์ที่ใช้ก่อสร้างถนนหลายสายในปี ค.ศ. 1933 และปี ค.ศ. 1934 ผลการทดสอบแสดงให้เห็นว่า ดินผสมซีเมนต์เป็นวัสดุที่เหมาะสมสำหรับใช้เป็นวัสดุพื้นทางของถนนที่มีราคาถูก

Davidson (1961) และ Terrel et al., (1797) ได้บันทึกตรงกันว่าในปี ค.ศ. 1935 South Carolina State Highway Department, Bureau o Public Roads และ Portland Cement Association ได้ร่วมกันก่อสร้างถนนซีเมนต์ยาว 1.5 ไมล์ ใกล้ๆ กับเมือง Jonhsonville เพื่อเป็นการยืนยัน

ผลการวิจัยของ South Carolina State Highway Department ต่อมาจนนิดินซีเมนต์สายนี้ เป็นที่รู้กันว่าเป็นโครงการแรกเกี่ยวกับวิศวกรรมถนนดินซีเมนต์ และจากความสำเร็จของโครงการนี้ทำให้มีการทดลองขึ้นในอีกหลายรัฐของสหรัฐอเมริกาที่ Portland Cement Association เป็นผู้ทดลองสร้าง

Davidson (1961) รายงานว่า ในปี ค.ศ. 1941-1944 ระหว่างสงครามโลกครั้งที่สอง ถนนดินซีเมนต์ได้ถูกนำมาใช้ในการสร้างสนามบินมากถึง 22 ล้านตารางหลา แต่ในขณะเดียวกัน การก่อสร้างถนนดินซีเมนต์มีปริมาณเพิ่มขึ้นอีก นอกจากดินซีเมนต์จะถูกใช้ทำถนนแล้ว ยังมีการใช้ดินผสมซีเมนต์เป็นวัสดุรองพื้นทางของถนนคอนกรีต ที่จอดรถ คลังเก็บสินค้า วัสดุรองพื้นอ่างเก็บน้ำ และคูคลองอีกด้วย

The Siam Cement Company Ltd. (1965) ได้ทดลองนำดินผสมซีเมนต์มาใช้เป็นพื้นทางของถนนสาย วารินชำราบ-เดชอุดม จังหวัดอุบลราชธานี เป็นสายแรกในประเทศไทยซึ่งมีความยาว 5 กิโลเมตร โดยดินลูกรังที่กำหนดค่า CRB ของดินซีเมนต์ไว้ไม่น้อยกว่า 120 สำหรับถนนที่มีปริมาณการจราจรต่ำ และกำหนดค่ากำลังอัดไม่น้อยกว่า 852 กิโลปาสคัล สำหรับถนนประเภทต่ำกว่ามาตรฐาน

ธีรชาติ รื่นไกรฤกษ์ และสมบัติกรรраст จรัสกร (2544) ได้ทำการวิจัยโดยนำดินลูกรัง และดินทรายปนดินตะกอนมาผสมซีเมนต์ สรุปผลได้ว่าพลังงานในการบดอัดมีผลอย่างมากต่อกำลังของดินซีเมนต์ โดยมีความสัมพันธ์แบบลอการิทึม (Logarithm model) โดยที่ค่าแรงดันแกนเดียวจะเพิ่มขึ้นอย่างรวดเร็วในช่วงพลังงานบดอัดต่ำ และจะช้าลงเมื่อพลังงานบดอัดสูง

2.3 ประเภทของดินซีเมนต์

Highway Research Board Committee on Soil-Cement Stabilization (1959) ให้คำจำกัดความของ Cement – Treated soil ว่าเป็นการนำเอาราดและซีเมนต์มาผสมกับน้ำในปริมาณที่ต้องการแล้วทำการบดอัดให้ได้ความหนาแน่นสูงสุด ป้องกันความชื้นไม่ให้สูญเสียระหว่างการบ่ม จากลักษณะการใช้งานและปริมาณปูนซีเมนต์ที่ใช้ผสม สามารถแบ่งดินผสมซีเมนต์ออกได้เป็น 5 ประเภท ดังนี้

Soil-Cement เป็นดินที่ผสมซีเมนต์เพื่อให้ได้กำลังอัดตามมาตรฐานของ Portland Cement Association (PCA), ASSHTO หรือ ASTM ปริมาณซีเมนต์ที่ใช้จะต้องมีปริมาณมากพอที่จะทำให้ดินซีเมนต์ดังกล่าวมีกำลังอัดหรือแรงแบกทางตามที่กำหนด สำหรับดินที่มีขนาดคละดีจะใช้ปูนซีเมนต์ประมาณ 5-7 เบอร์เซ็นต์ และจะสูงกว่านี้ หากดินมีขนาดคละไม่ดีหรือมีค่าดัชนีพลาสติก

สูง (Plasticity Index) กรณีที่ค่าดัชนีพลาสติกสูง ในการทำ Soil-Cement ควรทำการผสมปูนขาวเพื่อลดค่าดัชนีพลาสติกลง

Cement modified silty Clay Soil มักจะใช้ในการเพิ่มความแข็งแรงของผิวน้ำดินเดิมที่เป็นดินเหนียว ที่มีลักษณะเปียกແฉะและมีความอ่อนตัวมากให้มีความแข็งแรงพอที่บดยานจะผ่านได้โดยไม่ลื่นไถล ปริมาณซีเมนต์ที่ใช้ประมาณ 1-3 เปอร์เซ็นต์

Cement Modified Granular Soil จะใช้ในการปรับปรุงคุณสมบัติทางด้านความเป็นพลาสติก การบรวมตัว และการดูดซึมน้ำ ของดินที่มีผิวทางทั้งแบบยืดหยุ่นและมีผิวทางเป็นคอนกรีต โดยปริมาณซีเมนต์ที่ใช้จะมีค่าประมาณ 1-3 เปอร์เซ็นต์ของน้ำหนักดิน

Plastic soil cement มักใช้ในงานคาดปูนบนพื้นที่ลาดเอียง เช่นปูด้านข้างถนนเพื่อการระบายน้ำ คาดห้องคลองชลประทานและกันอ่างเก็บน้ำ ดังนั้น Plastic soil cement จะต้องมีสภาพเหลวมากพอที่จะนำไปใช้งานได้อย่างมีประสิทธิภาพ

Cement treated soil slurry and grouts เป็นซีเมนต์ที่ผสมกับวัสดุประเภทรายละเอียด หรือหินที่มีปริมาณน้ำสูงมาก อาจมีส่วนผสมเพิ่มอื่นเพื่อปรับปรุงคุณสมบัติของส่วนผสมให้มีค่า Workability สูง โดยปกติวัสดุประเภทนี้จะใช้เป็น Mud jacking material ในงานซ่อมบำรุงถนนที่เกิดปัญหาการทรุดตัวของคันทางหรือถูกน้ำกัดเซาะ และใช้เป็น Grouting material สำหรับยาหรืออุกรอยร้าวที่เกิดขึ้นในอุโมงค์ส่งน้ำ

2.4 กลไกของการปรับปรุงคุณสมบัติของดินซีเมนต์

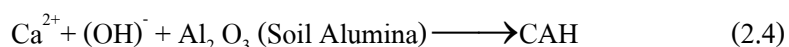
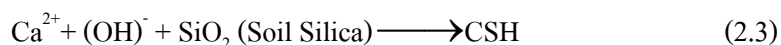
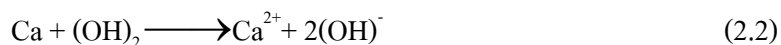
Lambe et al. (1959) อธิบายว่าซีเมนต์เป็นวัสดุที่ประกอบขึ้นจากผลึกของ Tricalcium Silicate (C3S), Dicalcium Silicate (C2S), Tricalcium Aluminate (C3A), Tetracalcium Aluminate Ferrite (C4AF) เมื่อผสมกับน้ำและดินจะทำให้เกิดปฏิกิริยาไฮเดรชัน ทำให้ได้สารประกอบ Calcium Silicate Hydrate (CSH), Calcium Aluminate Hydrate (CAH) และ Hydrate Lime ที่แยกตัวออกมานะเกิดปฏิกิริยาสารประกอบ CSH และ CAH จะมีคุณสมบัติเป็นตัวเขื่อนประสานเมื่อน้ำระเหยออกไป ออกจากน้ำ Released Hydrate Lime ที่เกิดขึ้นในกระบวนการดังกล่าวจะทำให้ความเป็นตัวเพิ่มขึ้น ทำให้ Colloid gel หรือ Cement Gel ที่ประกอบไปด้วย CSH และ CAH เกิดการรวมตัวแล้วยึดเกาะกันเป็นมวลที่มีกำลังรับแรงอัดสูงขึ้นตามอายุการบ่ม ในดินเม็ดหิน เมื่อเกิดปฏิกิริยาไฮเดรชัน การยึดเกาะกันของเม็ดจะคล้ายกับในคอนกรีต แต่ว่า Cement Paste จะไม่มีอุดเติมช่องว่างอนุภาคของเม็ดดิน แรงเชื่อมยึดติดจะเกิดแรงยึดเหนี่ยวทางด้าน Mechanical interlock ของอนุภาคเม็ดดินที่มี CSH และ CAH เกาะอยู่ที่ผิวอนุภาคของเม็ดดิน

สำหรับดินเม็ดละอีกด แรงขึ้นจะกระชากกันจะประกอบไปด้วยแรงทางด้าน Mechanical Interlock และ Chemical Cementation การขึ้นรูปทางด้าน Chemical Cementation นั้นเกิดจากปฏิกิริยาระหว่างซีเมนต์กับ Silica และ Alumina ที่มีอยู่ตามผิวของเม็ดดิน โดยมีน้ำเป็นตัวกลาง การเกิดปฏิกิริยาทำให้สารประกอบ CSH, CAH เพิ่มขึ้น และทำให้เม็ดดินเกิดการเชื่อมกัน

Davidson (1961) กล่าวว่า หลังการผสมซีเมนต์กับดินเหนียวขึ้น จะทำให้ค่าพลาสติก (Plasticity) ลดลง เหตุผลน่าจะมาจากการแยกตัวของ Calcium ion ในระหว่างการเกิดปฏิกิริยาไฮเดรตชัน กลไกที่เกิดขึ้นถ้าไม่มีมาจากการ Cat ion exchange ก็น่าจะมาจากการจับกู่เพิ่มขึ้นของ Cat ion ในดินเหนียว กระบวนการทั้งสองทำให้เกิดการเปลี่ยนแปลงของประจุไฟฟ้าที่มีอยู่อย่างหนาแน่น บริเวณอนุภาคดินเหนียว ส่งผลให้อนุภาคของดินเหนียวรวมตัวกันและตกตะกอนเป็นวัสดุที่มีขนาดใหญ่ขึ้น ขนาดของอนุภาคที่ใหญ่ขึ้นนี้ทำให้ดินเหนียวมีคุณสมบัติคล้ายดินตะกอนคือมีค่าพลาสติก (Plasticity) ต่ำ

Herzog (1963) กล่าวถึงการเกิดปฏิกิริยาไฮเดรตชันเป็นการเกิดสารประกอบ CSH, CAH ซึ่งเป็นปฏิกิริยาในช่วงแรก ส่วนปฏิกิริยาช่วงที่สองซึ่งต้องใช้เวลานาน เป็นปฏิกิริยาระหว่าง Calcium ion ที่เกิดจาก Released hydrated Lime ของปฏิกิริยาไฮเดรตชันกับ Silica และ Alumina ที่มีอยู่ในเม็ดดิน มีผลทำให้กำลังอัดของดินซีเมนต์สูงขึ้นตามอายุการบ่มที่นานขึ้น ซึ่งปฏิกิริยาดังกล่าว รู้จักกันว่าปฏิกิริยาโพสโซซานิค

Moh (1965) ได้ศึกษาเรื่องปฏิกิริยาของแร่ประกอบดินเหนียว กับซีเมนต์และสารเคมีผสมเพิ่มจำพวกโซเดียม และได้เจริญปฏิกิริยาของดินซีเมนต์เป็นสมการทางเคมี ดังต่อไปนี้



Pendola et al. (1969) สรุปว่าการปรับปรุงคุณภาพดินด้วยซีเมนต์นั้น เป็นกระบวนการร่วมกันของปฏิกิริยาทางกายภาพและเคมีระหว่างซีเมนต์ น้ำและดินซึ่งประกอบด้วยกลไก 4 ชนิด คือ

Hydration of cement คือกระบวนการที่สำคัญ โดยขณะที่ซีเมนต์รวมตัวกันน้ำจะทำให้เกิดปฏิกิริยาไฮเดรชันทำให้เกิดการเชื่อมแน่นระหว่างเม็ดดิน และก่อรูปร่างเป็นโครงข่ายที่แข็งแรงต่อเนื่องมากบ้างน้อยบ้างตามการคัดขนาดของเม็ดดิน ทำให้เม็ดดินที่ไม่ได้ทำปฏิกิริยาเข้ามาใกล้ชิดกัน โครงข่ายที่ก่อล้ำมาข้างตันนอกจากจะเพิ่มความแข็งแรงให้กับวัสดุที่ถูกปรับปรุงแล้ว ยังแทรกตัวอยู่ระหว่างช่องว่างของเม็ดดินทำให้ลดซึมผ่านและการบรวมตัวของมวลดิน รวมทั้งเพิ่มความด้านทานต่อการเสื่อมสภาพ เนื่องจากสภาวะการเปลี่ยนแปลงความชื้นรอบๆ อีกด้วย

Cat ion Exchange การลดลงของค่าพลาสติกของดินหลังจากการผสมซีเมนต์กับดินประเภทมีความเชื่อมแน่นที่มีความชื้น เช่นว่าเกิดจากการเปลี่ยน Cat ion หรือการรวมตัวกันของ Cat ion บนผิวของเม็ดดิน ปฏิกิริยาที่ว่าจะเกิดขึ้นภายในไม่กี่วันหลังการผสมซีเมนต์

Carbonation คือขบวนการเชื่อมแน่นจากปฏิกิริยาเคมีของคาร์บอนได้ออกไซด์ในอากาศกับ Lime ที่เกิดขึ้นจากปฏิกิริยาไฮเดรชันทำให้เกิด Calcium Carbonate ส่วนผลให้เกิดสารเชื่อมแน่นเพิ่มมากขึ้น

Pozzolanic Reaction คือขบวนการระหว่าง Free Lime ที่ถูกปลดปล่อยออกมาระหว่างปฏิกิริยาไฮเดรชันกับ Silica หรือ Alumina ที่มีอยู่ในดิน ทำให้เกิดสารเชื่อมแน่นเพิ่มขึ้น แต่ปฏิกิริยานี้จะต้องอาศัยระยะเวลาและมีผลให้กลังของวัสดุสูงขึ้น

Terrel et al. (1979) กล่าวถึงปฏิกิริยาของดินซีเมนต์ว่า การผสมซีเมนต์กับดินเม็ดหินซีเมนต์เพส จะทำหน้าที่ดูดอนุภาคเม็ดดินเข้าด้วยกัน โดยทำการขัดแกะที่ผิวระหว่างซีเมนต์เจลและผิวอนุภาค ส่วนดินเม็ดละอิจ แร่ดินเหนียวที่สามารถออกมายังสภาวะแวดล้อมที่มีค่า pH สูง จะทำปฏิกิริยากับ Free Lime หรือ Hydrate Lime ที่ได้จากปฏิกิริยาไฮเดรชัน ทำให้เกิด CSH และ CAH

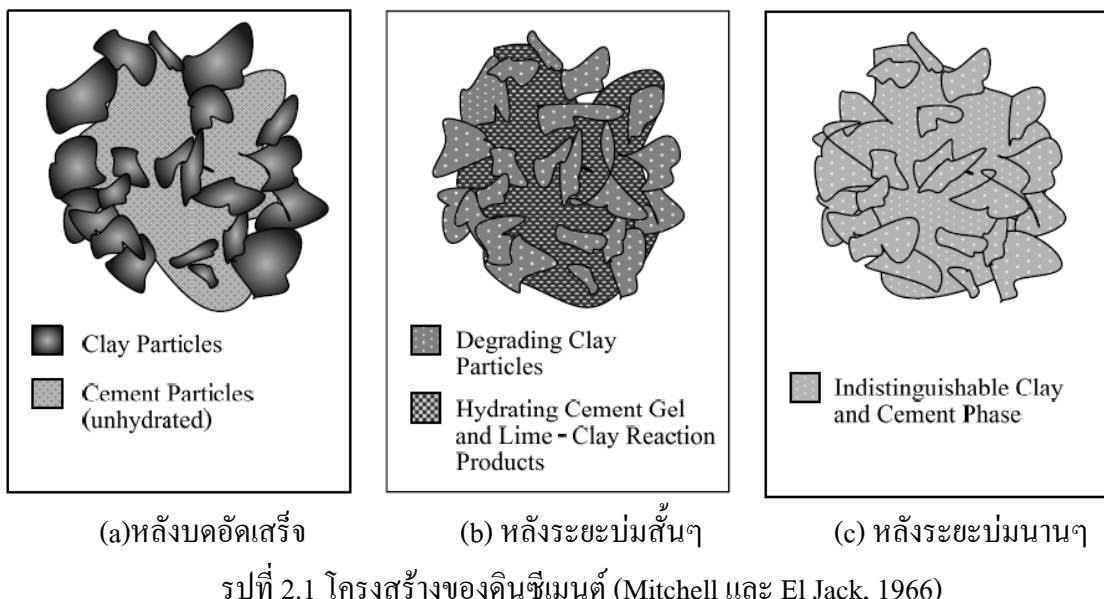
2.5 โครงสร้างของดินซีเมนต์

Czernin (1962) กล่าวว่าหลังจากที่ผสมซีเมนต์กับน้ำ จะเกิดปฏิกิริยาซีเมนต์ไฮเดรชันทำให้เกิดสารประกอบ CSH ในรูปของเจลขึ้นในส่วนผสมของซีเมนต์และน้ำ ดังนั้นจึงสามารถที่จะเข้าใจได้ว่าภายในการบดอัด อนุภาคของปูนซีเมนต์มิได้ผสมกับดินเพียงอย่างเดียว แต่จะเกิดปฏิกิริยาซีเมนต์ไฮเดรชันด้วย

Mitchell and El Jack (1966) ได้อธิบายถึงการเปลี่ยนแปลงของส่วนประกอบและโครงสร้างของดินซีเมนต์ ดังรูปที่ 2.1 โดยแบ่งเป็น 3 ระยะดังนี้

ภายในได้การบดอัด ช่วงนี้เป็นช่วงที่อนุภาคของปูนซีเมนต์ยังไม่เกิดปฏิกิริยาซีเมนต์ไฮเดรชัน แต่อนุภาคของปูนซีเมนต์จะเข้าผสมกับอนุภาคของดิน ดูรูปที่ 2.1(a)

ภายใต้การบ่มในระยะเวลาสั้น อนุภาคของปูนซีเมนต์จะเริ่มเกิดปฏิกิริยาซีเมนต์ไฮเดรชันทำให้เกิดซีเมนต์เจลแทรกไปตามช่องว่างระหว่างเม็ดดิน และปล่อย Lime ออกมากำดำเนินการ Soil Silica และ Soil Alumina ที่มีอยู่ในดินทำให้เกิดการแยกตัวของสารทั้งสอง จากนั้นซีเมนต์เจลและสารประกอบที่ได้จากปฏิกิริยาจะแทรกซึมไปตามอนุภาคของดิน ดูรูปที่ 2.1(b)



รูปที่ 2.1 โครงสร้างของดินซีเมนต์ (Mitchell และ El Jack, 1966)

ภายใต้การบ่มในระยะเวลายาว จะเกิดปฏิกิริยาซีเมนต์ไฮเดรชันอย่างสมบูรณ์ อันมีผลทำให้ซีเมนต์เจลและขอบเขตของการแทรกซึมกระจายไปทั่วทุกอณูดินซีเมนต์ ส่งผลให้กำลังอัดของดินซีเมนต์เพิ่มมากขึ้นตามระยะเวลาในการบ่ม ดูรูปที่ 2.1 (c)

2.6 ปัจจัยหลักที่มีอิทธิพลต่อกำลังของดินซีเมนต์

2.6.1 ปริมาณและประเภทของซีเมนต์

Felt (1955) ศึกษาอิทธิพลของปริมาณซีเมนต์โดยนำดินสามชนิดคือ Loamy Sand, Medium Clay และ Silty clay loam มาทดสอบผสมซีเมนต์ตั้งแต่ร้อยละ 6 – 30 โดยปริมาตร ที่อายุการบ่มตั้งแต่ 2 วัน จนถึง 1 ปี และผ่านสภาพภูมิอากาศ 2 แบบ คือ Wet-dry และ Freeze – thaw ตั้งแต่ 12 รอบ ถึง 96 รอบ ผลการศึกษาสรุปได้ว่า กำลังอัดของดินซีเมนต์จะเพิ่มขึ้นตามปริมาณซีเมนต์ที่ใช้ ดินที่มีขนาดเม็ดใหญ่จะมีกำลังรับแรงอัดสูงกว่าดินที่มีขนาดเม็ดเล็ก ดินที่มีปริมาณดินเนื้ยวพสมอยู่สูงจะมีกำลังอัดน้อยกว่าดินที่มีปริมาณดินเนื้วต่ำ และค่าความคงทนของดินซีเมนต์จะเพิ่มขึ้นตามปริมาณซีเมนต์ที่ใช้

นอกจากนั้น Felt (1955) ศึกษาอิทธิพลของประเภทซีเมนต์โดยนำดินสองชนิดคือ Silty Clay Loam และ Sandy Loam มาทดสอบกับซีเมนต์ประเภทที่ 1 และประเภทที่ 3 พบว่าดินที่ผสมด้วยซีเมนต์ประเภทที่ 3 จะให้กำลังที่สูงกว่าดินที่ผสมซีเมนต์ประเภทที่ 1 แต่ซีเมนต์ประเภทที่ 3 จะไม่มีอิทธิพลต่อกำลังอัดของดินทุกชนิด เช่น ดิน Sandy Loam ผสมกับซีเมนต์ประเภทที่ 3 จะใช้กำลังอัดเป็นสองเท่าของดินที่ผสมกับซีเมนต์ประเภทที่ 1 ที่อายุการบ่ม 7 วัน และเป็น 1.4 เท่า ที่อายุการบ่ม 28 วัน แต่สำหรับดิน Silty Clay Loam เมื่อผสมกับซีเมนต์ประเภทที่ 3 จะให้กำลังสูงกว่าดินที่ผสมกับซีเมนต์ประเภทที่ 1 เพียงเล็กน้อยเท่านั้น

คุณสมบัติพื้นฐาน และคุณสมบัติเชิงวิศวกรรมของดินซีเมนต์ ถูกศึกษาอย่างจริงจังโดย Terashi et al. (1979) และต่อมาเกี่ยวกับการศึกษาด้านนี้มากขึ้นเรื่อยๆ เช่น Kawasaki et al. (1981), Nontananandh and Yupakorn (2002) ซึ่งงานวิจัยเหล่านี้สรุปว่า ปัจจัยหลักที่มีผลต่อกำลังของดินซีเมนต์คือ ปริมาณน้ำ และปริมาณซีเมนต์

Ruenkrairergsa (1982) อนิบาย่าว่าปริมาณซีเมนต์เป็นปัจจัยหลักที่มีอิทธิพลต่อกำลังอัดของดินซีเมนต์ อัตราการเพิ่มกำลังอัดของดินซีเมนต์ ขึ้นอยู่กับชนิดของดิน พันธะเชื่อมประสานในดิน เม็ดหินจะแข็งแรงกว่าในดินเม็ดละเอียด ดินที่มีดินเหนียวมากจะให้กำลังอัดต่ำ ดังนั้นปริมาณซีเมนต์ที่เหมาะสมจะช่วยลดภาระจากการกดลงในห้องทดลอง

Lade and Overton (1989) ได้ศึกษาผลของพันธะเชื่อมประสาน (Cementation) ในดินเม็ดหิน ภายใต้ความหนาแน่นที่เท่ากัน ปริมาณน้ำที่ผสมเท่ากัน และแรงดันรอบข้างต่ำ แต่แตกต่างกันที่ปริมาณซีเมนต์ที่ผสม พบร่วมกันว่าปริมาณซีเมนต์เพิ่มขึ้น ค่ากำลังคงที่ และค่ามุมของแรงเสียดทานภายใน (Internal Friction Angle) จะเพิ่มขึ้น

Clare and Pollard (1951) ศึกษาอิทธิพลของประเภทซีเมนต์โดยนำดิน 3 ชนิดในประเภทอังกฤษมาทดสอบกับซีเมนต์ พบร่วมกันว่ามีอายุบ่ม 24 ชั่วโมง ดินซีเมนต์จะมีกำลังอัดสูงมากเมื่อผสมดินกับซีเมนต์ประเภท High – Alumina ขณะที่ซีเมนต์ประเภทอื่นต้องมีอายุการบ่ม 5 วัน และถ้าใช้ซีเมนต์ประเภท British Rapid Hardening ซึ่งเทียบได้กับซีเมนต์ประเภทที่สาม พบร่วมกันว่ามีกำลังคงที่ต่ำ ค่ากำลังคงที่ (Yield Strength) ที่ได้จะมีค่าสูงกว่าดินที่ผสมกับซีเมนต์ประเภทที่หนึ่งมาก

Massachusetts Institute of Technology (1954) ได้นำดินตะกอนปนทราย และดินเหนียว (Clayey Sandy Silt) ในรัฐไอโอوا มาทดสอบกับซีเมนต์ และพบร่วมกันว่าดินที่ผสมกับซีเมนต์ประเภทที่สาม จะมีกำลังอัดสูงกว่า ดินที่ผสมซีเมนต์ประเภทที่หนึ่ง 1.5 เท่า และ 1.3 เท่า ที่ระยะเวลาบ่ม 7 วัน และ 28 วันตามลำดับ

Davidson and Bruns (1960) ได้รายงานผลเกี่ยวกับกำลังอัด โดยวิธีทดสอบ Freeze thaw ของดินทราย ดินตะกอน และดินเหนียว บริเวณรัฐไอโอวา ประเทศสหรัฐอเมริกา และสรุปว่าการ

ใช้ซีเมนต์ประเภทสาม ในการก่อสร้างถนนจะประหยัดกว่าใช้ซีเมนต์ประเภทที่หนึ่ง เพราะว่าการใช้ซีเมนต์ประเภทที่หนึ่งต้องใช้เวลาในการบ่มอย่างน้อย 7 วัน แต่ว่าการใช้ซีเมนต์ประเภทที่สาม จะใช้เวลาในการบ่มน้อยกว่า ทำให้ได้เปรียบเรื่องระยะเวลาในการก่อสร้าง

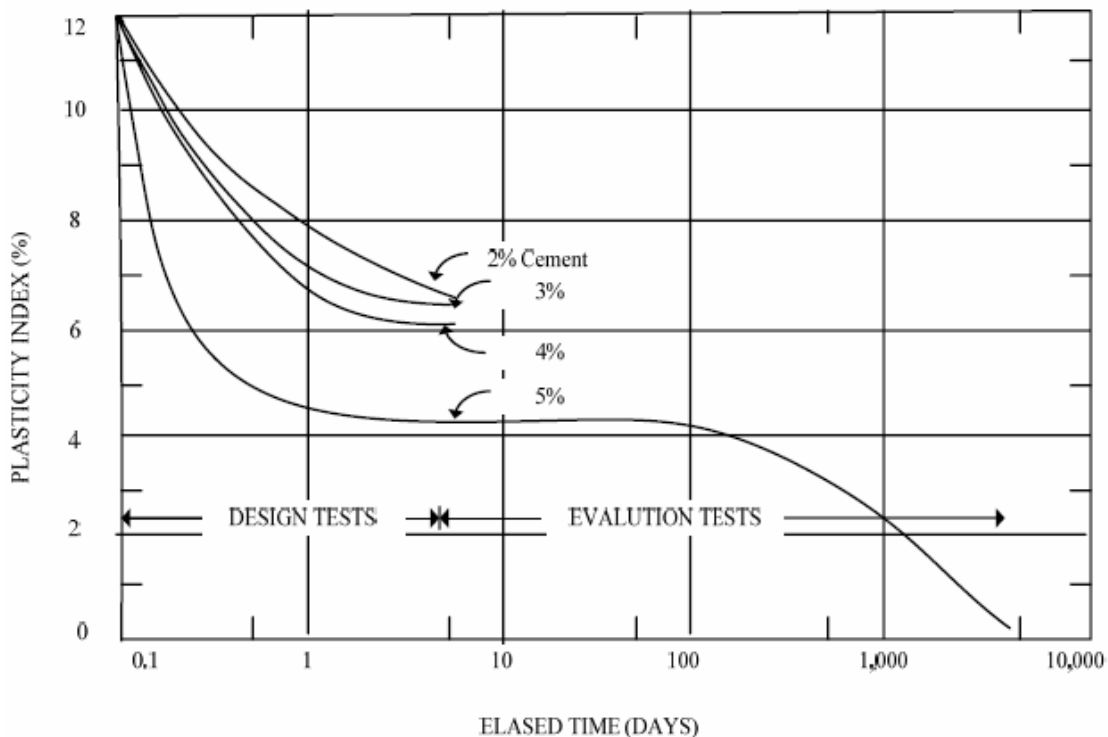
Horpibulsuk (2001), Miura et al. (2001) แสดงให้เห็นว่า ปริมาณน้ำและปริมาณซีเมนต์สามารถรวมไว้ในตัวแปรตัวเดียวได้ ตัวแปรนี้เรียกว่า Clay – water/Cement Ratio (Wc/C) และถูกนิยามว่าเป็นอัตราส่วนระหว่างปริมาณความชื้นในดินต่อปริมาณซีเมนต์โดยน้ำหนักผิ้งแห้งและ Horpibulsuk (2001) ยังได้สร้างสมการที่สามารถคำนวณค่าของดินซีเมนต์ที่ปริมาณซีเมนต์ปริมาณความชื้น ระยะเวลาบ่มต่างๆ โดยอาศัยผลการทดสอบเพียงค่าเดียว

ทรงพล บุญมาดี (2529) ได้ทำการทดสอบกำลังอัดของดินลูกรังผสมซีเมนต์ และสรุปว่า กำลังอัดของดินจะเพิ่มขึ้นตามปริมาณซีเมนต์และอายุการบ่มที่เพิ่มขึ้น โดยที่จะเพิ่มขึ้นอย่างรวดเร็ว ในช่วง 7 วันแรก หลังจากนั้นอัตราการเพิ่มของกำลังอัดจะลดลง

2.6.2 ชนิดของดิน

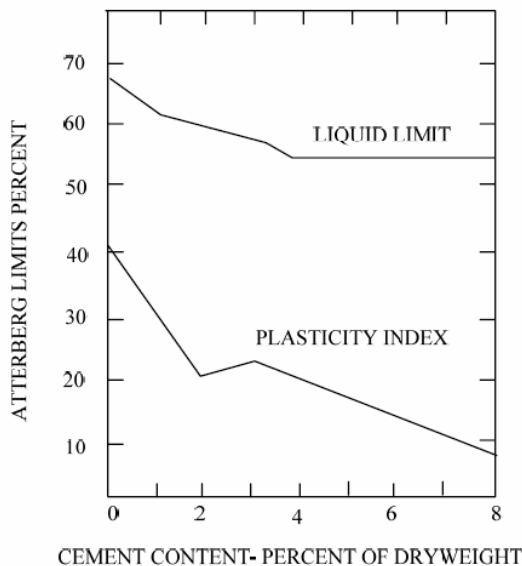
Winterkorn and Chandrasekharn (1951) รายงานผลการทดสอบดินลูกรังผสมซีเมนต์ว่า จะได้ผลดีหรือไม่นั้น ขึ้นอยู่กับปริมาณสารอินทรีย์ที่ผสมอยู่ในดิน และ Degree of Latterization ของดินลูกรัง

Reinhold (1955) ได้นำรายการผสมกับดินเหนียว โดยทำการเปลี่ยนแปลงปริมาณดินเหนียวที่ใช้ผสมตั้งแต่ 0-100 เปอร์เซ็นต์ แล้วทำการทดสอบหาความสัมพันธ์ระหว่าง โมดูลัส ยึดหยุ่น ที่ได้จากการทดสอบกำลังอัดกับปริมาณดินเหนียว พนว่าเมื่อปริมาณดินเหนียวเพิ่มขึ้น กำลังอัดและ โมดูลัสยึดหยุ่นจะมีค่าลดลง



รูปที่ 2.2 ความสัมพันธ์ของค่าดัชนีพลาสติกกับเวลา (Redus, 1958)

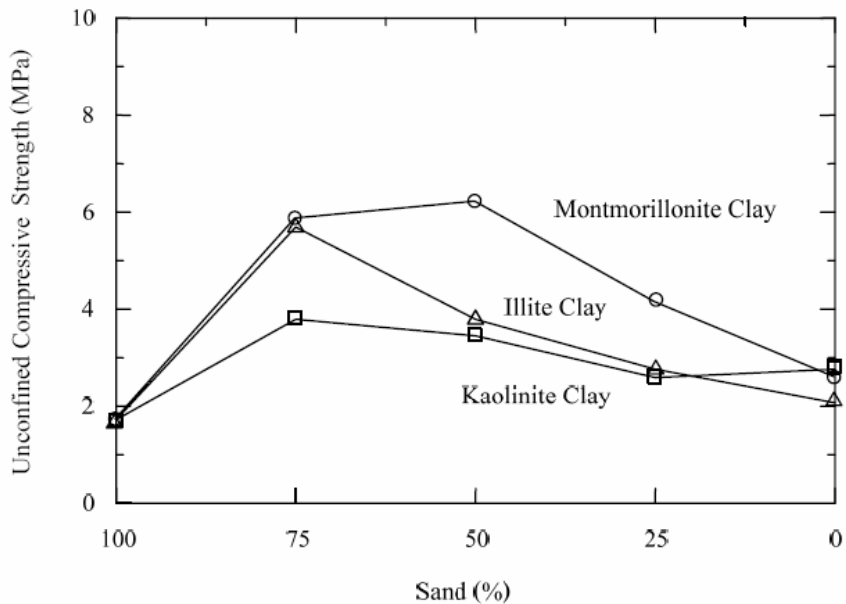
Redus, (1958) ได้นำดินซีเมนต์ชั้นพื้นทาง (Base course) ของถนนบินต่างๆ ซึ่งมีอายุการใช้งานนานหลายปี มาทำการทดสอบหาค่าพิกัดอัตโนมัติเบริก (Atterber's Limit) พบว่าปริมาณซีเมนต์ มีความสัมพันธ์ต่อการลดลงของดัชนีพลาสติก ดังรูปที่ 2.2 กล่าวคือปริมาณซีเมนต์ที่ผสมมาก ดัชนีพลาสติกจะลดลงอย่างรวดเร็ว และถ้าปริมาณซีเมนต์ที่ผสมน้อย ดัชนีพลาสติกจะลดลงอย่างช้าๆ นอกจากนี้ ระยะเวลาที่ทำให้เกิดปฏิกิริยา ไอเดรชันก็มีผลต่อการลดลงของค่าดัชนีพลาสติก ผลการศึกษานี้ตรงกับผลการวิจัยของ Spangler and Patel (1949) ซึ่งพบความสัมพันธ์ระหว่างค่าดัชนีพลาสติกกับระยะเวลาการเกิดปฏิกิริยา ไอเดรชันใน 1 ชั่วโมง ดังรูปที่ 2.3



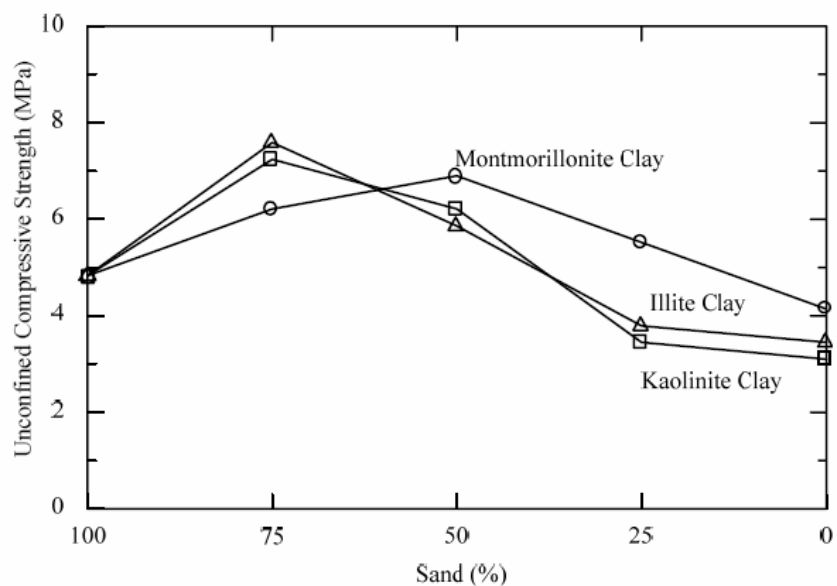
รูปที่ 2.3 ค่าพิภาคตะเบร์กของดิน ไอโวอา (Iowa) หลังเกิดปฏิกิริยาไฮเครชัน 1 ชั่วโมง
(Spanler et al., 1949)

Norling and Peckard (1958) ศึกษาอิทธิพลของปริมาณมวลรวมหยานที่ค้างบนตะแกรงเบอร์ 4 โดยใช้ดิน 3 ชนิด คือ ทรายหยาบ ทรายละเอียด และทรายดินเหนียวผสมซีเมนต์ในปริมาณที่เท่ากัน แต่เปลี่ยนมวลรวมที่ค้างบนตะแกรงเบอร์ 4 แล้วทำการทดสอบหากำลังอัดที่อายุการบ่ม 7 วัน และพบว่า Loamy Sand และ Fine Sand Loam จะมีกำลังขัดคลดลง เมื่อปริมาณมวลรวมที่ค้างตะแกรงเบอร์ 4 เพิ่มขึ้นเกินกว่า 50 เปอร์เซ็นต์ของน้ำหนักมวลรวมทั้งหมด

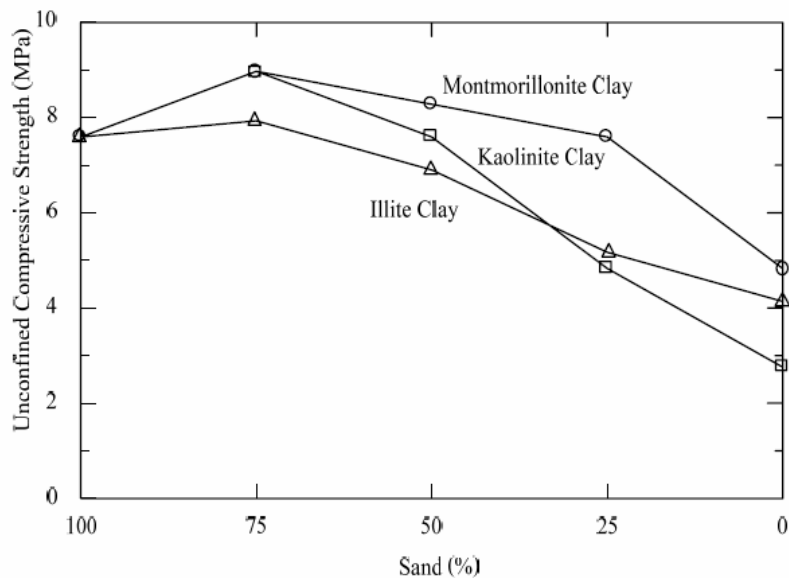
Davidson et al. (1962) ทำการทดลองโดยใช้ทรายผสมกับดินเหนียวในอัตราส่วนทรายต่อดินเหนียว 100:0 , 75:25 , 50:50 , 25:75 และ 0:100 ดินเหนียวที่ใช้เป็นดินเหนียวจำพวกเคลือบไนท์ (Kaolinite), อิลไดท์ (Illite) และมอนโ莫ริลโลไนท์ (Montmorillonite) ผลการทดสอบแสดงดังรูปที่ 2.4 รูปที่ 2.5 และรูปที่ 2.6 สรุปว่าเมื่อปริมาณดินเหนียวมากไป (เกินกว่า 25 เปอร์เซ็นต์) จะทำให้กำลังอัดของดินซีเมนต์ลดลงอย่างเด่นชัด โดยที่ดินเหนียวจำพวกมอนโ莫ริลโลไนท์ มีแนวโน้มว่าจะมีกำลังสูงกว่าดินเหนียวจำพวกเคลือบไนท์ และจำพวกอิลไดท์



รูปที่ 2.4 อิทธิพลของแร่ดินเหนียวที่มีต่อกำลังอัดแกนเดียวของดินซีเมนต์ ปริมาณซีเมนต์ 8%
(Davidson et al. 1962)



รูปที่ 2.5 อิทธิพลของแร่ดินเหนียวที่มีต่อกำลังอัดแกนเดียวของดินซีเมนต์ ปริมาณซีเมนต์ 12%
(Davidson et al. 1962)



รูปที่ 2.6 อิทธิพลของแร่ดินเหนียวที่มีต่อกำลังอัดแกนเดียวของดินซีเมนต์ ปริมาณซีเมนต์ 16%
(Davidson et al. 1962)

Portland Cement Association (1959) ได้จำแนกความต้องการปริมาณซีเมนต์ของดินกลุ่มต่างๆ ตามระบบ ASSHTO ไว้ในตารางที่ 2.1 และตารางที่ 2.2

ตาราง 2.1 ปริมาณซีเมนต์ที่ใช้ปรับปรุง ตามการจำแนกแบบ ASSHTO (ข้อมูลจาก Portland Cement Association, 1959)

ASSHTO Soil group	Usual range in cement Requirement (% by vol.) (% by wt.)	Estimated cement content And that used in the moisture-density test (% by wt.)	Cement content for wet-dry and freeze-thaw test (% by wt.)
A-1-a	5-7 3-5	5	3-5-7
A-1-b	7-9 5-8	6	4-6-8
A-2	7-10 5-9	7	5-7-9
A-3	8-12 7-11	9	7-9-11
A-4	8-12 7-12	10	8-10-12
A-5	8-12 8-13	10	8-10-12
A-6	10-14 9-15	12	10-12-14
A-7	10-14 10-16	13	10-13-15

ตาราง 2.2 ปริมาณซีเมนต์โดยประมาณในการผสม สำหรับวัสดุต่างๆ

(ข้อมูลจาก Portland cement Association, 1959)

Type of miscellaneous material	Estimated cement contented and That used in moisture – density test		Cement contented for wet-dry and Freeze-thaw Test (% by wt.)
	% by vol.	% by wt.	
Shell Soil	8	7	5-7-9
Limestone screening	7	5	3-5-7
Red-dog	9	8	6-8-10
Shale or disintegrated Shale	11	10	8-10-12
Callche	8	7	5-7-9
Cinders	8	8	6-8-10
Chert	9	8	6-8-10
Chat	8	7	5-7-9
Marl	11	11	9-11-13
Scoria(Retaining No.4 material)	12	11	9-11-13
Scoria (Passing No.4 material only)	8	7	5-7-9
Air-Cooled slag	9	7	5-7-9
Water-cooled slag	10	12	10-12-14

Moh et al. (1967) รายงานว่า คินลูกรังในประเทศไทย ที่มีค่า PI ประมาณ 11 ถึง 19 เมื่อ นำมาผสมกับซีเมนต์ร้อยละ 4 ถึง 7 จะให้กำลังอัดมากกว่า 852 กิโลปascals ซึ่งเป็นข้อกำหนดของ British Road Research Laboratory ที่มีประสบการณ์ในการทดลองใช้ในออฟริกาและยังเน้นให้เห็นถึงความสำคัญของการบดอัดว่าถ้าค่าร้อยละของการบดอัดลดลงเพียงเล็กน้อยจะมีผลทำให้ กำลังอัดลดลงอย่างเห็นเด่นชัด

Bell (1976) พบว่าแร่ดินเหนียว Montmorillonite เมื่อทำปฏิกิริยากับปูนขาว จะทำให้ Aqueous phase ลดลง ทำให้สาร Cementitious ซึ่งทำหน้าที่ยึดเกาะอยู่ในปูนขาวไม่เพียงพอต่อการแข็งตัว การแก้ไขคือ การเพิ่มปริมาณซีเมนต์ลงไปเพื่อเพิ่ม Free lime ให้มากขึ้น โดยปกติการเพิ่มซีเมนต์มากกว่าร้อยละ 15 จะทำให้ดินเจ้าพาก Montmorillonite มีคุณภาพดีสามารถนำมาใช้งานได้

2.6.3 ปริมาณความชื้นขณะบดอัด

Felt (1955) และ Davidson et al. (1962) ศึกษาอิทธิพลของความชื้นต่อกำลังอัด และความชื้นกับน้ำหนักที่สูญเสียจากการทำ Wet-Dry และ Freeze – Thaw ได้ผลตรงกันว่า ปริมาณความชื้น และความหนาแน่นมีอิทธิพลเป็นอย่างมากต่อกำลังอัดของดินซีเมนต์ สำหรับดินทราย ควรทำการบดอัดด้วยปริมาณความชื้นที่ต่ำกว่าปริมาณความชื้นเหมาะสม ส่วนดินเหนียวควรบดอัดดินที่มีปริมาณความชื้นสูงกว่าปริมาณความชื้นเหมาะสมเล็กน้อย จึงจะให้กำลังอัดสูงสุด

Ruenkrairergsa (1982) ได้อธิบายว่าการนำความสัมพันธ์ระหว่างปริมาณความชื้นกับความหนาแน่นของดินที่บดอัดตามวิธีการของพร็อกเตอร์ (Proctor) มาใช้ในงานดินซีเมนต์นั้น พบ.ว่าปริมาณความชื้นเหมาะสม นอกจากจะให้ความหนาแน่นสูงสุดแล้ว ยังทำให้ซีเมนต์เกิดปฏิกิริยาไฮเดรชันที่สมบูรณ์อีกด้วย สำหรับดินซีเมนต์ ความหนาแน่นสูงสุดไม่จำเป็นว่าทำให้ดินซีเมนต์มีความแข็งแรงและความคงทนมากที่สุดเสมอไป จากการทดลองหาความคงทนด้วยวิธี Freeze – Thaw ของดินตะกอนและดินเหนียวพบว่า ความคงทนจะมีค่าสูงสุดเมื่อทำการบดอัดที่มีปริมาณความชื้นสูงกว่าปริมาณความชื้นเหมาะสมเล็กน้อย ทำการบดอัดที่ปริมาณความชื้นต่ำกว่าปริมาณความชื้นเหมาะสม จะทำให้ค่าความคงทนลดลง สำหรับดินทรายผสมซีเมนต์ ความแข็งแรงจะมีค่ามากที่สุดเมื่อบดอัดที่ปริมาณความชื้นต่ำกว่าปริมาณความชื้นเหมาะสม 3-6 เปลอร์เซ็นต์ ส่วนดินเหนียวเมื่อบดอัดที่ปริมาณความชื้นต่ำกว่าปริมาณความชื้นเหมาะสมเล็กน้อย จะให้ความแข็งแรงสูงสุด

Lightsey et al. (1970) ได้รายงานว่าบางครั้งการบดอัดดินซีเมนต์ให้มีความหนาแน่นแห้งสูงสุด (Maximum Dry – Density, MDD) ที่ไม่ได้ทำให้ดินซีเมนต์มีความแข็งแรงมากที่สุดเสมอไป เนื่องจากการห่วงเวลา ก่อนการบดอัด จากการศึกษาดินตัวอย่าง 4 ชนิด ได้แก่ Silty Loam, Sandy Loam, Silt และ Silty Clay Loam บดอัดด้วยวิธีบดอัดแบบมาตรฐาน (Standard Proctor Test) ที่ปริมาณความชื้นต่ำกว่าและสูงกว่าปริมาณความชื้นเหมาะสม แม้จะทดสอบเสร็จทิ้งไว้เป็นเวลา 0, 2, 4 และ 6 ชั่วโมง ก่อนทำการบดอัด พบร่วมกับปริมาณน้ำ ส่วนเกินที่ต้องการเพื่อให้ได้ความแข็งแรงและความคงทนของดินซีเมนต์สูงสุดนั้นขึ้นอยู่กับชนิดของดิน และเวลาระหว่างการทดสอบควบคู่กับการบดอัด สำหรับดินเม็ดหยาบ ปริมาณน้ำที่เพิ่มในการบดอัดจะเพิ่มการหล่อลื่นระหว่างเม็ดดินทำให้ความหนาแน่นแห้งสูงสุขของดินตัวอย่างเพิ่มขึ้น ทำให้เพิ่มความแข็งแรงและความคงทน เมื่อมีการห่วงเวลา ก่อนการบดอัด ส่วนดินเม็ดละเอียด การเพิ่มปริมาณน้ำในการบดอัดจะทำให้ปฏิกิริยาไฮเดรชันเกิดสมบูรณ์ขึ้น เป็นผลทำให้คุณสมบัติของดินซีเมนต์ดีขึ้น โดยที่ต้องไม่มีการห่วงเวลา ก่อนการบดอัด

2.6.4 การบ่มดินซีเมนต์

Highway Research Board (1949) ได้รายงานเกี่ยวกับการรักษาความชื้นของดินผสมซีเมนต์ในสนาณโดยการปูพิภพใน 4 รัฐด้วย Bituminous seal 4 ชนิด คือ MC-2, RC-1, MC-3 และ Asphalt emulsion ว่าวัสดุน้ำหนักพิภพทั้ง 4 ชนิด มีความสามารถในการกีบรักษาความชื้นระหว่างการบ่ม 7 วัน ในสนาณได้เป็นอย่างดี

Clare and Pollard (1951) สรุปถึงอิทธิพลของอุณหภูมิที่มีต่อกำลังของดินซีเมนต์ว่า ที่อุณหภูมิบรรยายกาศ 25 องศาเซลเซียส และอุณหภูมิของการบ่มเพิ่มขึ้นเป็น 60 องศาเซลเซียส กำลังอัดของดินซีเมนต์ที่อายุการบ่ม 7 วันจะสูงขึ้น 2-2.5 เท่าตัวต่ออุณหภูมิการบ่มที่เพิ่มขึ้น 1 องศาเซลเซียส การก่อสร้างที่ใช้ดินซีเมนต์ในพื้นที่ที่อากาศอบอุ่นจะให้กำลังอัดที่อายุ 3 เดือนแรกหลังการก่อสร้างสูงกว่าการก่อสร้างในพื้นที่ที่มีอากาศหนาวกว่าร้อยละ 50-100

Maner (1952) ได้ทดลองใช้วัสดุต่างๆ ได้แก่ Waterproof Paper, Calcium Chloride, RC-2 Asphalt, Tar และ Asphalt emulsion ในการบ่มพื้นทางดินซีเมนต์พบว่าวัสดุ Bituminous Asphalt ทั้ง 3 ชนิด และ Waterproof paper ใช้งานได้ผลดี นากจากนี้ยังพบว่าความชื้นในอากาศมีอิทธิพลอย่างมากต่อปริมาณความชื้นในดินซีเมนต์

Leadabrand (1956) นำดิน 2 ชนิด คือ Clayey sandy soil และ Silty soil มาผสมกับซีเมนต์ร้อยละ 10 ของน้ำหนักดินแห้ง แล้วทำการบดอัดในห้องปฏิบัติการ เพื่อหากำลังอัดที่อายุการบ่มตั้งแต่ 2 วันจนถึง 5 ปี พบว่ากำลังอัดของดินซีเมนต์จะคล้ายกับกำลังอัดของคอนกรีต กล่าวคือ กำลังอัดจะเพิ่มขึ้นตามอายุของดินซีเมนต์ และยังได้ทำการเจาะตัดดินซีเมนต์ในสนาณจากโครงการก่อสร้างของรัฐต่างๆ 4 รัฐ ในประเทศไทยมีช่วงอายุตั้งแต่ 1 ปีถึง 20 ปี มาทดสอบหากำลังอัดพบว่า กำลังอัดของดินซีเมนต์ในสนาณจะลดคล่องกับกำลังอัดของดินซีเมนต์ในห้องปฏิบัติการ

Ng (1966) พบว่ากำลังอัดของดินลูกรังผสมซีเมนต์จะแปรผันกับอุณหภูมิที่ใช้บ่ม กล่าวคือ อุณหภูมิการบ่มเพิ่มขึ้น จาก 70°F เป็น 100°F กำลังอัดของดินซีเมนต์จะเพิ่มขึ้นอีกร้อยละ 20

Wang and Huston (1972) รายงานว่าการลดอุณหภูมิในการบ่มจะทำกำลังอัดลดลงแต่จะเพิ่มความเครียด ที่จุดวิกฤต ไม่กว่าจะทดสอบแรงดึง หรือแรงอัด

Shackel and Lee (1974) ทำการศึกษาเรื่องการบ่มดินซีเมนต์โดยใช้ตัวอย่าง Artificial Soil ซึ่งได้จากการนำ Uniform Sand จากเมือง Botany รัฐ New South Wales ประเทศออสเตรเลียมาผสมกับ Commercial Air-floated China Clay (Kaolin) ในอัตราส่วน 60:40 โดยนำน้ำหนักและผสมซีเมนต์ในอัตราร้อยละ 0, 3 และ 8 ทำการบ่ม 2 ลักษณะ คือบ่มในอากาศที่อุณหภูมิคงที่ 20°C และบ่มในถุงพลาสติกที่อุณหภูมิคงที่ 20°C โดยการบ่ม 0, 1, 3, 9, 23, 44 และ 81 วัน จากนั้นทดสอบหาค่า

การทดสอบ หรือค่าการขยายตัว ค่ากำลังอัด ค่ากำลังดึง และวัดการกระจายตัวของโพรง (Pore Size Distribution) ของดินซีเมนต์จากการจำลองแท่งตัวอย่าง โดยใช้เครื่องมือที่มีชื่อว่า Mercury Intrusion Porosimeter พบว่าเมื่อเพิ่มปริมาณซีเมนต์และอายุการบ่มจะทำให้กำลังอัด และกำลังดึง เพิ่มขึ้น การบ่มในอากาศจะทำให้เกิดการทดสอบมากกว่าการบ่มแบบชื้น และยังเพิ่มขนาดโพรง (Pore Size) และปริมาตร (Pore Volume) เมื่ออายุการบ่มมากขึ้นด้วย ส่วนการบ่มแบบชื้น เมื่ออายุการบ่มมากขึ้น จำทำให้ขนาดโพรงลดลง

2.6.5 ระยะเวลาในการทดสอบ

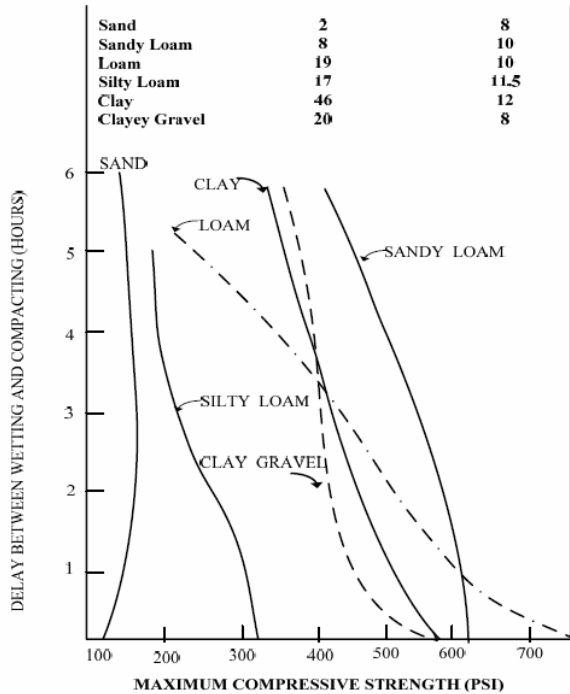
Marshall (1954) ศึกษาผลของการหน่วงเวลาการทดสอบระหว่างการทดสอบชื้น และการบดอัด ที่มีผลต่อกำลังอัดของดินชนิดต่างๆ พบว่ากำลังอัดจะลดลงเมื่อเวลาการทดสอบนานขึ้น ดังแสดงในรูปที่ 2.7

Felt (1955) ศึกษาอิทธิพลของการหน่วงเวลาต่อกำลังอัด และความคงทน โดยทดสอบให้นานขึ้น แล้วทิ้งไว้ก่อนบดอัด ศึกษาดิน 3 ชนิด คือ ดินกลุ่ม A-2 (LL= 26, PI = 11) ดินกลุ่ม A-4 (LL= 35, PI = 12) A-6-7 (LL= 47, PI = 26) พบว่าดินทุกชนิดจะมีค่ากำลังอัดลดลงเมื่อหน่วงเวลาการทดสอบให้นานขึ้น การหน่วงเวลาการทดสอบแบบหยุดเป็นครั้งคราว จะมีผลเสียน้อยกว่าแบบหยุดทดสอบโดย

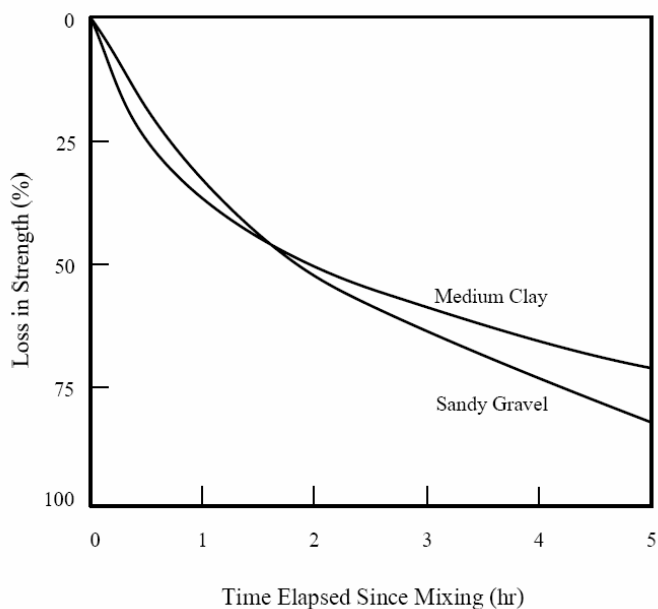
Ingles and Metcalf (1972) ทำการทดสอบดิน 2 ชนิด คือ Medium clay และ Sandy gravel เพื่อหาความสัมพันธ์ระหว่างกำลังอัดกับเวลาที่ใช้ในการทดสอบดินซีเมนต์ พบว่าเวลาการทดสอบที่นานขึ้น 1-2 ชั่วโมง กำลังอัดจะลดลงกว่า 50 เพรเซ็นต์ ถ้าเวลาในการทดสอบเกินกว่า 2 ชั่วโมง กำลังอัดของ Sandy Gravel จะน้อยกว่า Medium Clay เล็กน้อย ดังแสดงในรูปที่ 2.8

DATA ON SOILS AND ON CEMENT-TREATED SOIL MIXTURES

Soil Texture	Clay Content (% <0.02 mm.)	Cement Content (% by volume)
Sand	2	8
Sandy Loam	8	10
Loam	19	10
Silty Loam	17	11.5
Clay	46	12
Clayey Gravel	20	8



รูปที่ 2.7 อิทธิพลของการหน่วงเวลาการผสมระหว่างผสมชั้น และการบดอัดที่มีต่อกำลังอัดของดินซีเมนต์ (Mashall, 1954)



รูปที่ 2.8 การสูญเสียกำลังอัดของดินซีเมนต์เนื่องจากการใช้เวลาในการบดอัดนานขึ้น (Ingles and Metcalf, 1972)

Horpibulsuk (2002) กล่าวว่าการที่กำลังของดินซีเมนต์ในสนาમีค่าต่ำกว่ากำลังของดินซีเมนต์ที่หาได้ จากห้องทดลอง มีสาเหตุจากความไม่สม่ำเสมอของการทดสอบดินซีเมนต์ในสนา

2.6.6 สารผสมเพิ่ม

Clare and Pollard (1951) ทำการศึกษาเกี่ยวกับสารผสมเพิ่ม โดยทำการทดสอบดินทรายที่มีสารอินทรีย์ผสมอยู่ร้อยละ 0.3 พบว่าสารผสมเพิ่มจำพวกปูนขาว (Lime) มีส่วนช่วยให้ดินซีเมนต์แข็งตัวเร็วในระยะแรก ดินชนิดนี้เมื่อผสมด้วยปอร์ตแลนด์ซีเมนต์ย่างเดียวจะก่อตัวเมื่ออายุ 7 วัน แต่เมื่อเพิ่มปูนขาว ประมาณร้อยละ 2 จะช่วยให้ดินซีเมนต์ดังกล่าวแข็งตัวเร็วขึ้น 2 วัน

Fuller and Dabney (1952) ได้อธิบายว่าการใส่ปูนขาวกับดินที่มีค่าดัชนีพลาสติกสูงจะทำให้การผสม และการบดอัดง่ายขึ้น นอกจากนี้ยังทำให้กำลังอัดเพิ่มขึ้น

Maclean et al. (1952) ได้นำดินที่มีค่าขีดจำกัดเหลวระหว่าง 70-75 และมีค่าดัชนีพลาสติกประมาณ 45-53 มาทำการทดลอง โดยใช้ปริมาณซีเมนต์ที่ร้อยละ 15-30 โดยที่เพิ่มปูนขาวลงไปร้อยละ 2 พบว่า กำลังอัดของดินซีเมนต์จะเพิ่มขึ้น และมีความต้านทานการเสียดสีมากขึ้น แต่ถ้าผสมปูนขาว (lime) เกินกว่าร้อยละ 2 ผลการทดลองอาจไม่เป็นตามที่กล่าวมาข้างต้น

Lambe and Moh (1957) ได้รายงานผลการทดสอบการใช้สารผสมเพิ่มจำนวน 29 ชนิดในกลุ่ม Dispersants , Synthetic resins, Waterproofing agents, Alkalies และเกลือ ในดินซีเมนต์ที่ปริมาณซีเมนต์ร้อยละ 5 และปริมาณสารผสมเพิ่มร้อยละ 0.5-1.0 ดินที่ใช้ทำการทดสอบได้แก่ดินตะกอนจากรัฐ New Hampshire ดินเหนียวปานดินตะกอนจากรัฐ Massachusetts และดินฝุ่นแข็งพรุนจากเมือง Vicksburg พบว่ามีสารผสมเพิ่ม 4 ชนิด ที่เพิ่มความแข็งแรงถึงร้อยละ 100-150 ได้แก่ โซเดียมคาร์บอเนต , โซเดียมไฮดรอกไซด์ , โพแทสเซียมเบอร์แมกนีเซียม และโซเดียมซัมเพด

Davidson et al. (1958) ได้ศึกษาการใช้ปอร์ตแลนด์ซีเมนต์กับถ่านหินลิกไนต์ (Fly ash) ใน การปรับปรุงคุณภาพของดินพบว่า การผสมถ่านหินลิกไนต์ลงในดินจะทำให้กำลังรับน้ำหนักของทรายผสมซีเมนต์เพิ่มขึ้น และยังพบว่าในดินเหนียวผสมซีเมนต์ถ้าใส่ถ่านหินลิกไนต์ลงไป จะทำให้รอยแตกเนื่องจากการหดตัวลดลง แต่ไม่ช่วยเพิ่มความคงทน

Pinto et al. (1962) ได้ทำการศึกษาดินที่มีแร่มอนโรมิลโอในที่ผสมอยู่ 5 ชนิด โดยแบ่งเป็น ปริมาณปูนขาว ซีเมนต์ที่ผสม และอายุการบ่ม 7, 14 และ 28 วัน โดยทำการแข็งน้ำ 1 วัน ก่อนทำการทดสอบแกนเดียว พบว่าการผสมปูนขาวจะช่วยให้ความแข็งแรงเพิ่มขึ้นในกรณีที่ดินตัวอย่างมีปริมาณดินเหนียวสูง และถ้าดินไม่มีหินปูนหรือแคลเซียมคาร์บอเนตผสมอยู่จะยิ่งทำให้ความแรงเพิ่มสูงขึ้นอีก

Wilmot (1995) กล่าวว่าตั้งแต่ปี 1950 ในประเทศอสเตรเลียสุดผสมเพิ่ม ที่ใช้ในงาน Pavement recycling มีพิจ Cements, Cement/fly-ash, Bitumen และ Hydrate lime เท่านั้น ต่อมามี

ปี 1980 มีการนำซีเมนต์ผสม มาใช้เพิ่มระยะเวลาการใช้งานในนานขึ้น โดยที่ความแข็งแรงในระยะยาวขึ้นคงเท่าเดิม ซีเมนต์ผสมดังกล่าวได้แก่ Cement + Slag, Cement + Fly – ash, Cement + Lime และได้ให้แนวทางการเลือกใช้สารผสมเพิ่มกับวัสดุแต่ละชนิดแสดงในตารางที่ 2.3

2.7 กำลังของดินซีเมนต์

Wang and Huston (1972) ทำการทดสอบหากำลังดึงและกำลังอัดของวัสดุผสมระหว่างปูนซีเมนต์ปอร์ตแลนด์ประเภทหนึ่งกับดินตะกอนที่ได้จาก Glacial deposit ใน Rhode island พบว่า การเสียรูปที่จุดวิกติจากการทดสอบทั้งแบบรับแรงอัดและรับแรงดึง จะมีค่าคงที่เสมอ ถ้าหากค่าความหนาแน่นแห้ง ปริมาณความชื้น และสภาพการบ่มเหมือนกัน ค่ากำลังและค่าการเสียรูปที่ได้จากการทดสอบแบบรับรับแรงดึงจะมีค่าต่ำกว่าค่าที่ได้จากการทดสอบแบบรับแรงอัด ค่ากำลังรับแรงดึง จะอยู่ระหว่างร้อยละ 10-20 ของค่ากำลังรับแรงอัด ส่วนค่าการเสียรูปที่จุดวิกตินี้ของจากแรงดึง จะมีค่าอยู่ระหว่างร้อยละ 1.0-2.5 ของค่าการเสียรูปที่จุดวิกติ เนื่องจากแรงอัด สำหรับทุกอายุการบ่ม และปริมาณซีเมนต์ที่ศักยภาพ และขั้นตอนอีกว่าค่าไม่ดูดซึมหยุ่นของแรงอัดกับค่าไม่ดูดซึมหยุ่นของแรงดึง เป็นสัดส่วนโดยตรงกับกำลัง ตามรูปที่ 2.9 และรูปที่ 2.10

ตารางที่ 2.3 แนวทางการเลือกวัสดุผสมเพิ่ม (Additive) กับวัสดุแต่ละชนิด (Wilmot, 1995)

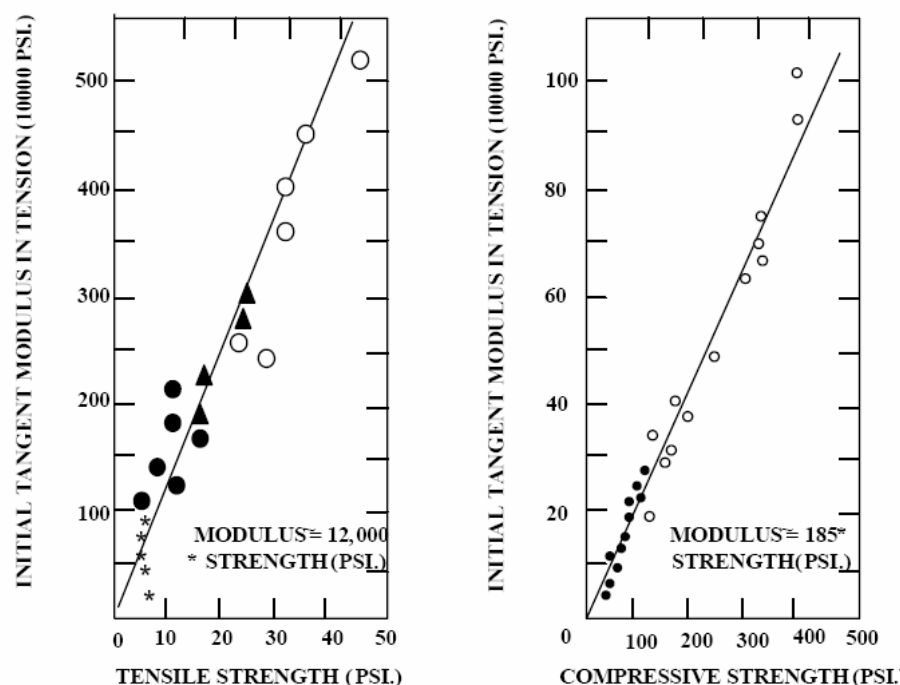
	Crushed rock	Well graded gravel	Silty - clay gravel	Sand*	Sandy silty clay	Heavy clay
Cement	A	A	A	B	B	N
Blend	A	A	A	A	A	N
Cementations	B	B	A	N	B	A
Hydrate Lime	N	N	B	N	B	A
Hydrate Lime + Cement	B	A	A	B	A	B
Polymeric	A	A	B	B	B	N
Bitumen						
Usually very suitable	A	Usually satisfactory	B			
Usually not suitable	N					

*Depend Upon Grading (Single size sand require higher additive content)

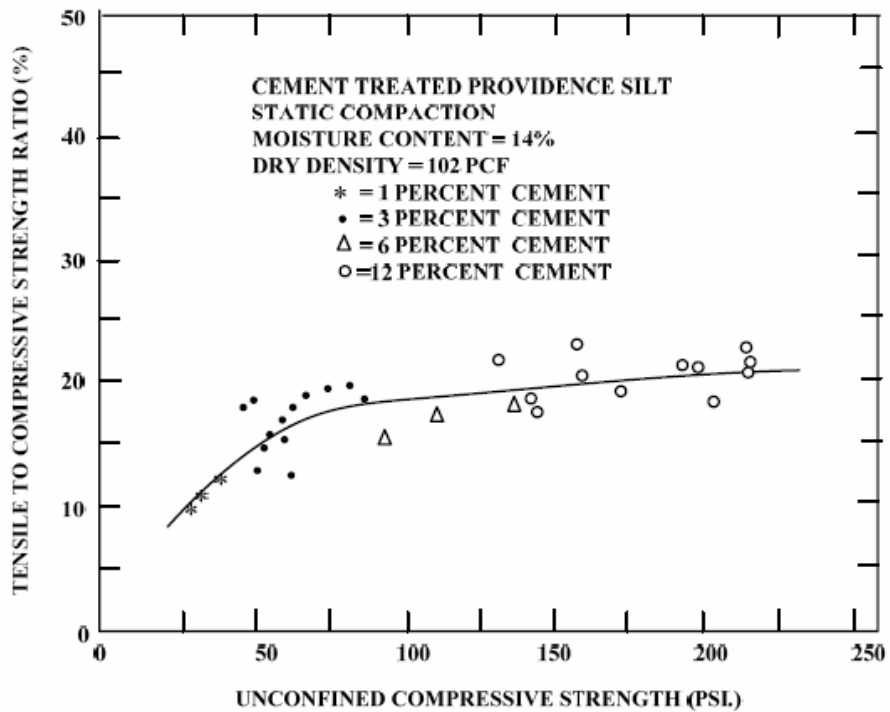
2.8 การนำวัสดุเก่ามาใช้ใหม่ (Recycling)

Gordon (1984) กล่าวถึงการใช้สารพสมเพิ่มเพื่อสร้าง Modified materials และ Bound Materials Modified โดยที่ Materials คือวัสดุที่เกิดจากการเติมสารพสมเพิ่มพอประมาณ เพื่อปรับปรุงคุณสมบัติทางวิศวกรรมให้ดีขึ้น วัสดุประเภทนี้จะมีความด้านทานแรงดึงต่ำ Bound Materials เป็นวัสดุที่เกิดจากการใส่สารพสมเพิ่มลงไปอย่างมาก เพื่อเพิ่มความแข็งแรงและสามารถด้านทานน้ำหนักบรรทุกได้ ค่าโมดูลัสยึดหยุ่นจะมีค่าสูง และอาจด้านทานหน่วยแรงดึงได้

Kuhlman (1989) กล่าวได้ว่า ได้มีการปรับปรุงถนนเก่าใน 12 รัฐ ของประเทศสหรัฐอเมริกา ซึ่งมีผู้จราจรทำจากยางมะตอย โดยการนำผู้จราจรมาผสมกับชิเมนต์ แล้วใช้เป็นพื้นทางใหม่ในช่วงปี 1942-1958 ต่อมาในปี 1970 การปรับปรุงวัสดุเก่านี้ถูกเรียกว่า Recycling ในเวลาต่อมาวิธีการดังกล่าวถูกนำมาใช้งาน ทั้งผู้จราจรยึดหยุ่นที่ชารุดเสียหาย และผู้จราจรคอนกรีตเก่าซึ่งพบว่าได้ผลดี



รูปที่ 2.9 ความสัมพันธ์ระหว่าง Initial Tangent Modulus in Tension กับกำลังดึงและกำลังอัดของคินชิเมนต์ (Wang and Huston, 1972)



รูปที่ 2.10 ความสัมพันธ์ระหว่าง Direct tensile strength กับ Unconfined compressive strength ของดินซีเมนต์ (Wang and Huston, 1972)

Tabensky (1990) กล่าวว่า การนำวัสดุเก่ามาใช้งานอีกครั้ง (Recycling) ไม่ใช่เรื่องใหม่ แต่ มีรายงานว่า Florida Department of Transportation ได้ทำการปรับปรุงคุณภาพวัสดุเก่า ด้วยการผสม ซีเมนต์เพื่อเพิ่มความแข็งแรงของถนน และ Orange county California ใช้ซีเมนต์ในการปรับปรุง คุณภาพวัสดุที่นำกลับมาใช้งานใหม่อีกครั้ง กับถนนจำนวน 20 สาย ระหว่างปี 1950-1960 โดยใช้ ซีเมนต์ในอัตราส่วนร้อยละ 5-7 โดยน้ำหนัก และทำผิวทางแบบแอสฟัลต์ หนา 75 มิลลิเมตร ในรัฐ Arizona ได้มีการใช้ซีเมนต์ในอัตราส่วนร้อยละ 6 โดยน้ำหนัก ในการปรับปรุงคุณภาพวัสดุที่ผสมกัน ระหว่างแอสฟัลต์คอนกรีตเก่ากับวัสดุชั้นล่าง เพื่อปรับปรุงคุณภาพทางวิ่งในสนามบิน 2 แห่งคือ Winslow municipal airport และ Mohave county airport.

Wirtgen (1992) บันทึกว่า Cold Recycling ใช้ในการทำชั้นพื้นทางไว้รองรับ Surface Treatment หรือ Wearing Course โดยทั่วไปจะใช้ความหนาประมาณ 200-300 มิลลิเมตร ขึ้นอยู่กับ โครงสร้างของถนนที่ต้องการ ข้อได้เปรียบทางเศรษฐศาสตร์ของ Cold in – Place Recycling เมื่อ เปรียบเทียบกับ Conventional Method ได้แสดงไว้ในตารางที่ 2.4

Atkinson (1955) กล่าวว่าได้มีการใช้ชิเมนต์ในการปรับปรุงคุณภาพวัสดุใน Queensland มาตั้งแต่ปี 1980 กับถนนที่เป็นคันกรวดเมื่อปริมาณการจราจรสูงขึ้น หรือเกิดน้ำท่วมจะทำให้ถนนชำรุดเสียหาย และความแข็งแรงของถนนลดลง ได้แก่ปัญหาโดยปรับปรุงคุณภาพวัสดุ ซึ่งในช่วงแรกของการออกแบบต้องการแข็งแรงที่ 2 เมกะบาร์ascal สำหรับถนนที่มีคันทางอ่อนตัว (Flexible Subgrade)

Walton (1955) บันทึกไว้ว่าการนำวัสดุก่อมาใช้ในงานใหม่โดยวิธีการผสมเข็น (Cold in-Place Recycling) เป็นที่ยอมรับกันว่าประยุกต์มาก และได้เริ่มนิยมการใช้เป็นมาตรฐานในปี 1970 ในรัฐ Oregon, New Mexico, Kansas และ Florida ต่อมาวิธีการดังกล่าวได้ถูกนำมาใช้ในหลายประเทศ เช่น ออสเตรเลีย อิตาลี รัสเซีย แคนนาดา เยอรมัน ฝรั่งเศส และอังกฤษ โดยใช้กับถนนที่มีปริมาณการจราจรต่ำถึงปานกลางในปี 1980 ปรากฏว่าให้ผลเป็นที่น่าพอใจ ในช่วง ดังกล่าวใช้ชิเมนต์ร้อยละ 20 โดยปริมาตร และบังไส Emulsion เป็นสารผสมเพิ่ม (Additive)

A.A. Loudon & Partner Consulting Engineers (1955) กล่าวว่า การก่อสร้างด้วยวิธี Cold In-Place Recycling ต้องมีการสำรวจออกแบบตามเงื่อนไข และตามสภาพถนนที่จะทำการก่อสร้าง รวมทั้งประสิทธิภาพของเครื่องจักรที่จะใช้งาน เพื่อที่จะสามารถวางแผนงานให้ได้ผลที่ดีที่สุด การก่อสร้างจะไม่ทำในขณะเปียก และหลีกเลี่ยงการทำลายที่อุณหภูมิต่ำกว่า 5 องศาเซลเซียส ปริมาณความชื้นที่ใช้ควรห่างจากการทดลอง ซึ่งถ้าใช้ชิเมนต์ในการปรับปรุงคุณภาพ ระหว่างการบดอัด ความชื้นต้องไม่เกินร้อยละ 75 ของปริมาณความชื้นที่เหมาะสมของวัสดุที่ไม่ผสมเพิ่ม แต่ถ้าไม่ผสมชิเมนต์หรือไม่ผสมอะไรเลย ปริมาณความชื้นที่ใช้ในการบดอัดต้องไม่เกินปริมาณความชื้นเหมาะสม และต่ำกว่าปริมาณความชื้นเหมาะสมไม่เกินร้อยละ 1 หลังจากการบดอัด และแต่งรูป เรียบร้อยแล้ว ให้ทำการบ่มเพื่อรักษาความชื้นทันทีซึ่งอาจใช้ยางแอสฟัลต์หรือวัสดุอย่างอื่นที่เหมาะสมก็ได้

ตารางที่ 2.4 ข้อเปรียบเทียบเชิงเศรษฐศาสตร์ของ Cold recycling Process กับ Conventional Method (Wirtgen, 1992)

	Conventional method	Cold recycling Method
รถดูดและการขนส่ง	ต้องการ	ไม่ต้องการ
การขนย้ายรถดูด	ต้องการ	ไม่ต้องการ
การใช้รถขนย้ายวัสดุถนนเดิม	ต้องการ (ค่าใช้จ่ายสูง)	ไม่ต้องการ
สถานที่ทิ้งวัสดุ	ต้องการ (เป็นปัญหามาก)	ไม่ต้องการ
การใช้รถขนย้ายวัสดุถนนใหม่	ต้องการ (ค่าใช้จ่ายสูง)	ต้องการ (ในบางกรณี)
การตัดแต่งรูปใบแต่ละชั้นทาง	ต้องการ (ค่าใช้จ่ายสูง)	ต้องการ (กรณีไม่มีเครื่องปู)
เครื่องจักรในการบอัด	ต้องการ	ต้องการ
ระยะเวลาในการก่อสร้าง	ยาว	สั้น
ปัญหาการจราจร	มาก	น้อย

2.9 สมการทำนายกำลังของดินซีเมนต์

Horpibulsuk และคณะ (2003) ได้ทำการทดสอบ และวิเคราะห์การเพิ่มขึ้นของกำลังอัดของดินซีเมนต์โดยละเอียด โดยอาศัยสมมติฐาน Clay – Water/Cement Ratio Hypothesis (Miura et al., 2001 และ Horpibulsuk and Miura, 2001) พบว่า กำลังของดินแต่ละชนิดที่ผสานกับซีเมนต์ขึ้นอยู่กับตัวแปรเพียงตัวเดียว คือ Clay – Water/ Cement Ratio

$$q_u = \frac{A}{B^{(w_c/C)}} \quad (2.5)$$

เมื่อ q_u	คือ	กำลังต้านแรงอัดแกนเดียวที่ระยะบ่อมค่าหนึ่ง
A	คือ	ค่าคงที่ที่ขึ้นอยู่กับชนิดของดิน
B	คือ	ค่าคงที่ที่ขึ้นอยู่กับชนิดของดิน
w/C	คือ	Clay- water/Cement ratio และมีนิยามว่าเป็นอัตราส่วนระหว่างปริมาณความชื้นในดินต่อปริมาณซีเมนต์

นอกจากนี้ Horpibulsuk et al. (2003) ยังพบว่า อัตราการเพิ่มของกำลังของดินซีเมนต์เป็นพึงกշั่นของลักษณะที่มีของอายุบ่อม ดังแสดงในสมการที่ 2.6 และ รูปที่ 2.11

$$\frac{q_D}{q_{28}} = 0.038 + 0.281 \ln D \quad (2.6)$$

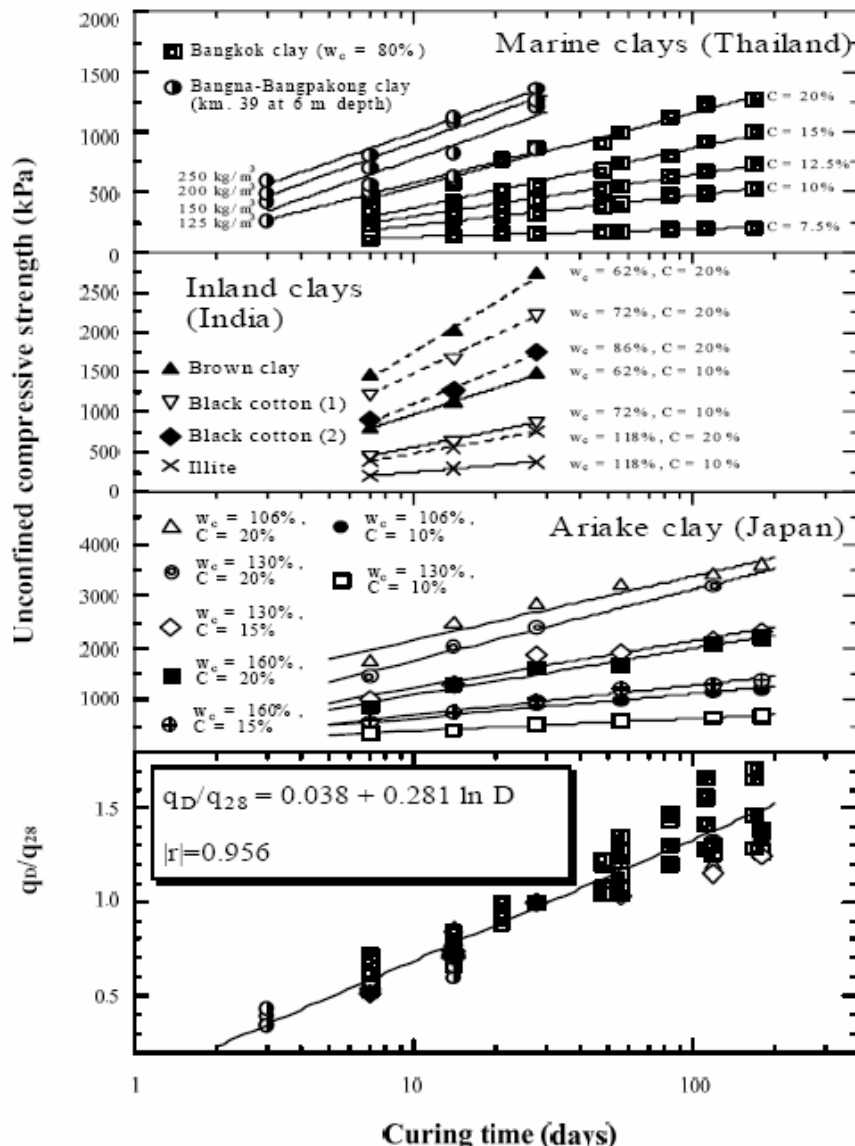
เมื่อ q_D	คือ	กำลังอัดแกนเดียวของดินซีเมนต์ที่อายุบ่อม D วัน
q_{28}	คือ	กำลังอัดแกนเดียวของดินซีเมนต์ที่อายุบ่อม 28 วัน
D	คือ	อายุบ่อม, วัน

เมื่อร่วมสมการที่ 2.5 และ 2.6 และแทนค่า B เท่ากับ 1.24 จะได้สมการที่ 2.7 ซึ่งสามารถคำนวณกำลังของดินซีเมนต์ที่ปริมาณความชื้น ปริมาณซีเมนต์ และอายุบ่อมได้โดยอาศัยเพียงแค่ผลการทดสอบเดียวที่อายุบ่อม 28 วัน

$$\left[\frac{q_{(w_c/C)_{1,D}}}{q_{(w_c/C)_{28}}} \right] = 1.24^{\{(w_c/C)_{28} - (w_c/C)_D\}} (0.038 + 0.281 \ln D) \quad (2.7)$$

เมื่อ $q_{(w_c/C)_{1,D}}$ คือ กำลังอัดแกนเดียวของดินซีเมนต์ที่ต้องการทราบที่ W_c/C หลังจากระยะบ่อม D วัน

$q_{(w_c/C)_{28}}$ คือ กำลังอัดแกนเดียวของดินซีเมนต์ที่ต้องการทราบ บ่อม 28 วัน



รูปที่ 2.11 การเพิ่มของกำลังรับแรงอัดแกนเดียวของดินซีเมนต์ (Horpibulsuk et al., 2003)

2.10 สมการท่านายกำลังของการนำวัสดุเก่ามาใช้ใหม่ (Recycling)

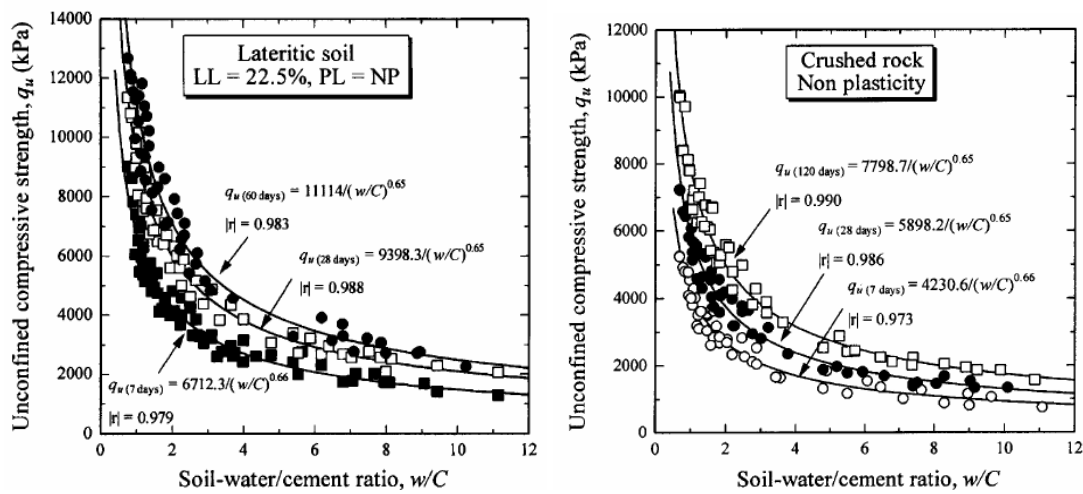
Horpibulsuk และคณะ (2006) ได้ทำการทดสอบ และวิเคราะห์การเพิ่มขึ้นของกำลังอัดของดินซีเมนต์โดยการนำวัสดุเก่ามาใช้ใหม่ โดยอาศัยสมมติฐานว่า กำลังของดินแต่ละชนิดที่ผสมกับซีเมนต์ขึ้นอยู่กับตัวแปรเพียงตัวเดียว คือ Clay – Water/ Cement Ratio ตามสมการ

$$q_u = \frac{A}{(w/c)^B} \quad (2.8)$$

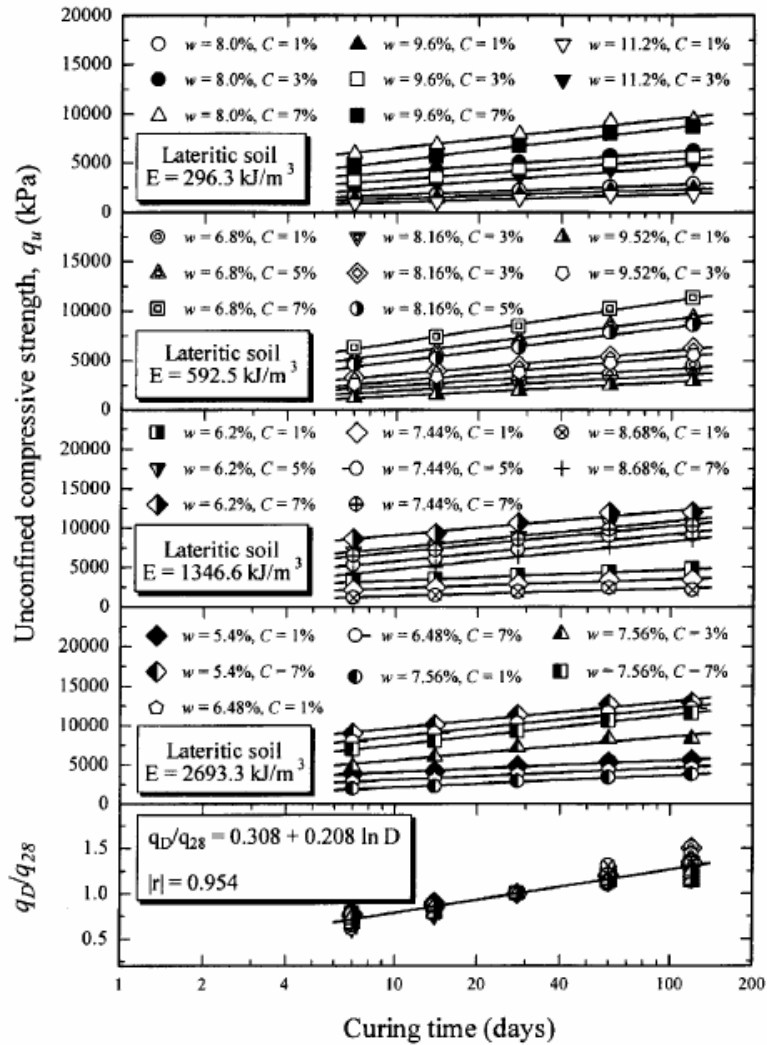
เมื่อ q_u คือ กำลังต้านแรงอัดแกนเดียวที่ระบบบ่มค่าหนึ่ง

<i>A</i>	คือ	ค่าคงที่ที่ขึ้นอยู่กับชนิดของดิน
<i>B</i>	คือ	ค่าคงที่ที่ขึ้นอยู่กับชนิดของดิน
w_c / c	คือ	Clay- water/Cement ratio และมีนิยามว่าเป็นอัตราส่วนระหว่างปริมาณความชื้นในดินต่อปริมาณซีเมนต์

โดยได้ทำการทดสอบกำลังอัดของดินซีเมนต์ชนิดดินลูกรัง (Lateritic soil) ที่ระยะเวลาบ่ม 28 วัน และ 90 วัน และหินคลุก (Crushed Rock) ที่ระยะเวลาบ่ม 7 วัน 28 วัน และ 120 วัน นำมาเปรียบความสัมพันธ์ระหว่างค่าอัตราส่วนระหว่างปริมาณความชื้นในดินต่อปริมาณซีเมนต์ (w_c / c) กับกำลังอัดของดินซีเมนต์ดังแสดงในรูปที่ 2.12

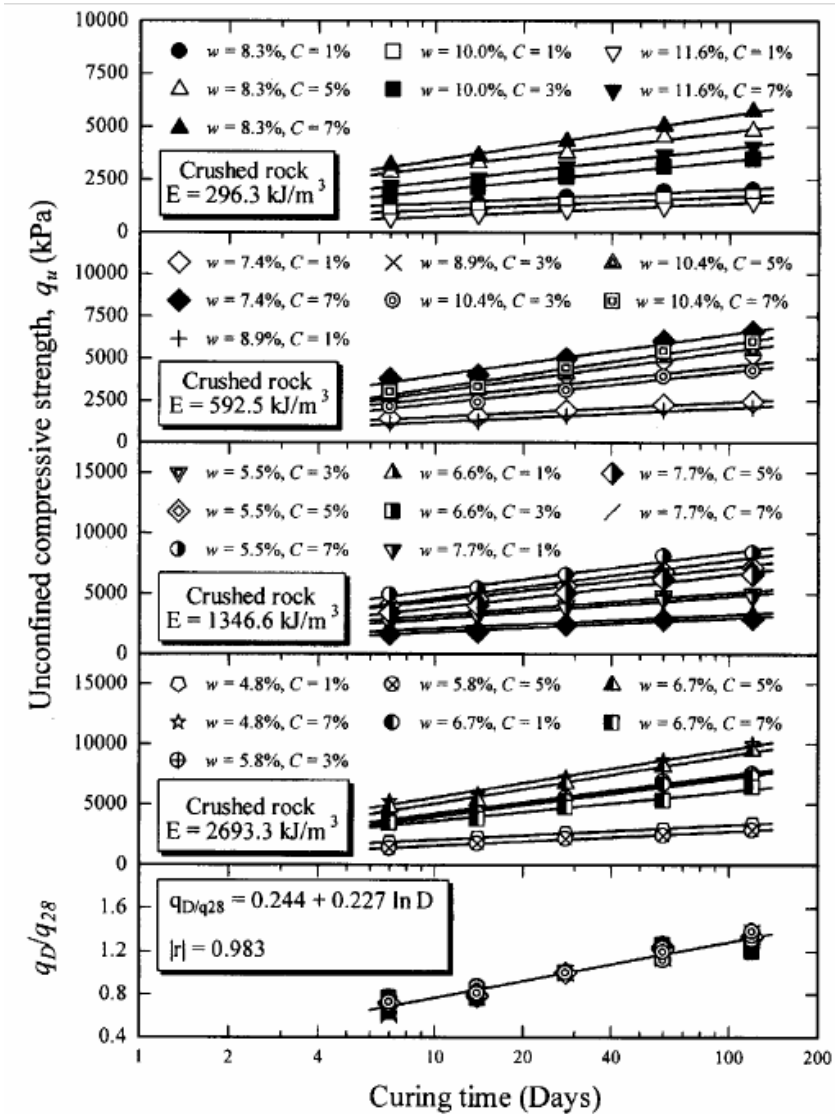


รูปที่ 2.12 ความสัมพันธ์ระหว่างค่าอัตราส่วนระหว่างปริมาณความชื้นในดินต่อปริมาณซีเมนต์ (w_c / c) กับกำลังอัดของดินซีเมนต์ (Horpibulsuk et al., 2006)



รูปที่ 2.13 ความสัมพันธ์ระหว่างกำลังอัดแกนเดียวกับอายุบ่มของ Lateritic soil

(Horpibulsuk et al., 2006)



รูปที่ 2.14 ความสัมพันธ์ระหว่างกำลังอัดแกนเดียวกับอายุบ่มของ Crushed rock

(Horpibulsuk et al., 2006)

ซึ่งอัตราการเพิ่มของกำลังของคืนซีเมนต์เป็นฟังก์ชันของลักษณะการตีบีบของอายุบ่ม ดังแสดงในสมการที่ 2.9 และ รูปที่ 2.13 และรูปที่ 2.14

$$\frac{q_D}{q_{28}} = 0.207 + 0.219 \ln D \quad (2.9)$$

เมื่อแทนค่า $B = 0.65$ ในสมการที่ 2.7 แล้วนำค่ากำลังอัดตามสมการที่ 2.8 ที่มีการบ่มที่ D วัน หารด้วยกำลังอัดที่มีการบ่มที่ 28 วันจะได้สมการ

$$\left[\frac{q_{(w_c/C)_D}}{q_{(w_c/C)_{28}}} \right] = \left[\frac{(w/c)_{28}}{(w/c)_D} \right]^{0.65} (0.207 + 0.219 \ln D) \quad (2.10)$$

เมื่อ $q_{(w_c/C)_D}$ คือ กำลังอัดแกนเดียวของดินซีเมนต์ที่ต้องการทราบที่ Wc/C หลังจากระยะเวลา D วัน

$q_{(w_c/C)_{28}}$ คือ กำลังอัดแกนเดียวของดินซีเมนต์ที่ต้องการทราบที่ บ่ม 28 วัน

Horpibulsuk และคณะ (2006) ยังพบอีกว่า กำลังของดินซีเมนต์ในสนา� จะมีค่าต่ำกว่า กำลังบดอัดในห้องปฏิบัติการ เป็นผลมาจากการเหตุปัจจัยหลัก ได้แก่ การผสม การบดอัด และการบ่มสรุปว่า กำลังของดินซีเมนต์ที่ผสมและบดขัดในสนา� (q_{fr}) เปรียบเทียบกับกำลังของดินซีเมนต์บดอัดในห้องปฏิบัติการ (q_{ul}) ที่ปริมาณความชื้น ปริมาณซีเมนต์ อายุบ่ม และภัยได้ พลังงานการบดอัดที่เท่ากันมีค่าระหว่าง 0.50 ถึง 1.00 เท่า

บทที่ 3

วิธีดำเนินการทำโครงการ

3.1 ชนิดของข้อมูลและแหล่งข้อมูล

ข้อมูลจากการวิจัยนี้รวบรวมจากผลทดสอบในงานซ่อมแซมถนนที่ชำรุด โดยวิธีหมุนเวียน วัสดุชั้นทางเดินมาใช้ใหม่ทั่วประเทศไทย จากสำนักวิเคราะห์ วิจัยและพัฒนา กรมทางหลวงชนบท โดยรวมรวมข้อมูลผลทดสอบกำลังรับแรงอัด (Compressive strength) และข้อมูลที่เกี่ยวข้อง จำนวนทั้งสิ้น 63 ชุดข้อมูล จากสถานที่ก่อสร้าง 37 จังหวัด ทั่วประเทศไทย และข้อมูลที่ใช้ในปี 2006 ของ Horpibulsuk และคณะ ซึ่งใช้คืนในการทดสอบอยู่ 2 ประเภท คือ Lateritic soil และ Crushed Rock ปริมาณความชื้น w_{fh} และหน่วยน้ำหนักแห้ง γ_{dfh} ของตัวอย่างที่ผสมในสนามและบดอัดในห้องปฏิบัติการ ถูกควบคุมให้มีค่าระหว่าง 2% ของปริมาณความชื้นเหมาะสม ($OMC \pm 2\%$) การบดอัดในสนามจะควบคุมให้ค่าอัตราส่วนหน่วยน้ำหนักแห้ง ($\gamma_{dfr} / \gamma_{dfh}$) มีค่าไม่น้อยกว่า 95%

3.2 ตัวแปรที่ใช้งานวิจัยนี้

พิสูจน์สมมุติฐาน

H_0 : กำลังอัดของตัวอย่างคืนซีเมนต์ที่เตรียมด้วยวิธีที่ต่างกันมีค่าเท่ากัน ($q_{ul} = q_{ufh} = q_{ufr}$)

H_1 : กำลังอัดของตัวอย่างคืนซีเมนต์ที่เตรียมด้วยวิธีที่ต่างกันมีค่าไม่เท่ากัน

ตัวแปรที่ใช้ในการทดสอบสมมติฐาน

(1) กำลังรับแรงอัดของตัวอย่างที่เตรียมในห้องปฏิบัติการ (q_{ul})

(2) กำลังรับแรงอัดของตัวอย่างที่ผสมในสนามและบดอัดในห้องปฏิบัติการ (q_{ufh})

(3) กำลังรับแรงอัดของตัวอย่างที่เตรียมในสนาม (q_{ufr})

แบบจำลองเพื่อทำนายกำลังรับแรงอัดโดยการวิเคราะห์ความถดถอย

ตัวแปรที่ใช้ในการสร้างแบบจำลอง

ตัวแปรตาม

(1) กำลังรับแรงอัดของตัวอย่างที่เตรียมในห้องปฏิบัติการ (q_{ul})

ตัวแปรอิสระ

- (1) อัตราส่วนระหว่างความชื้นต่อปริมาณซีเมนต์ (w/c)
- (2) เวลา (t)
- (3) คุณสมบัติพื้นฐานของดิน เช่น การกระจายขนาดเม็ดดิน ความเป็นพลาสติกของดิน

3.3 สถิติที่ใช้ในงานวิจัย

การวิเคราะห์ข้อมูลที่ได้จากการเก็บรวบรวมข้อมูล และใช้ข้อมูลสถิติ ดังนี้

3.3.1 ข้อมูลสถิติเบื้องต้น

ค่าเฉลี่ย (Arithmetic Mean, \bar{X}) (ก้าวฯ วานิชย์บัญชา, 2553)

$$\bar{X} = \frac{\sum X}{n} \quad (3.1)$$

ส่วนเบี่ยงเบนมาตรฐาน (Standard Deviation, SD) (ก้าวฯ วานิชย์บัญชา, 2553)

$$SD = \sqrt{\frac{\sum (X - \bar{X})^2}{n-1}} \quad (3.2)$$

3.3.2 สถิติที่ใช้ทดสอบสมมุติฐาน

การทดสอบกลุ่มตัวอย่างว่ามีการแจกแจงประชากรแบบปกติหรือไม่ โดยใช้ Kolmogorov-Smirnov Test (ก้าวฯ วานิชย์บัญชา, 2553)

$$D = \max |F(x) - S(x)| \quad (3.3)$$

หากมีการแจกแจงประชากรแบบปกติจะใช้สถิติการทดสอบแบบต่างระหว่างค่าเฉลี่ยของประชากรแบบจับคู่ โดยตัวอย่างเป็นอิสระต่อ กัน (Independent samples test to compare means) ระดับนัยสำคัญ (α) 0.05 หรือระดับความเชื่อมั่น 95%

$$t = \frac{\bar{d} - d_0}{Sd / \sqrt{n}}$$

(3.4)

หากมีการแจกแจงประชากรแบบไม่ปกติจะใช้สถิติการทดสอบ Mann-Whitney test โดยตัวอย่างเป็นอิสระต่อ กัน ระดับนัยสำคัญ (α) 0.05 หรือระดับความเชื่อมั่น 95%

$$Z = \frac{U - E(U)}{\sqrt{V(U)}} \quad (3.5)$$

$$\text{ค่าเฉลี่ยของ } U = E(U) = \frac{n_1 n_2}{2} \quad (3.6)$$

$$\text{ค่าความแปรปรวนของ } V = V(U) = \frac{n_1 n_2 (n_1 + n_2 + 1)}{12} \quad (3.7)$$

จะปฏิเสธเมื่อค่า $Z > Z_{1-\frac{\alpha}{2}}$ และ $Z < Z_{\frac{\alpha}{2}}$

3.4 การจัดทำข้อมูลและวิเคราะห์ผล

3.4.1 การวิเคราะห์ข้อมูลสำหรับท่านายกำลังอัตราของดินซีเมนต์

แบบจำลองสำหรับท่านายกำลังของดินซีเมนต์ จะได้จากการวิเคราะห์สมการความถดถอย (Regression) โดยกำลังอัตราของดินซีเมนต์จะแปรผันตาม อัตราส่วนระหว่างนำ้ต่อซีเมนต์ ระยะเวลาในการบ่ม และความเป็นพลาสติกของดิน

3.4.2 การวิเคราะห์ข้อมูลเชิงปริมาณ

ข้อมูลเชิงปริมาณจะเป็นข้อมูลเพื่อการอธิบายเสริมข้อมูลเชิงคุณภาพ ในที่นี้ได้แก่ ตัวแปรต่าง ๆ ไม่ว่าจะเป็นตัวแปรอิสระหรือตัวแปรตาม นำเสนอเป็น ค่าเฉลี่ย และค่าส่วนเบี่ยงเบนมาตรฐาน

3.4.3 การวิเคราะห์ผลการเปรียบเทียบ

ความแตกต่างระหว่างกำลังของดินซีเมนต์ในสนา�และห้องปฏิบัติการ โดยการทดสอบความแตกต่างระหว่างค่าเฉลี่ยของกลุ่มตัวอย่างมากกว่า 2 กลุ่ม หากมีการแจกแจงแบบปกติจะใช้การเปรียบเทียบแบบจับคู่ โดยตัวอย่างเป็นอิสระต่อกัน หากมีการแจกแจงแบบไม่ปกติจะใช้การเปรียบเทียบแบบ Mann-Whitney test โดยตัวอย่างเป็นอิสระต่อกัน ระดับนัยสำคัญ (α) 0.05 หรือระดับความเชื่อมั่น 95% เพื่อหาว่าปัจจัยใดที่มีผลต่อกำลังของดินซีเมนต์ในสนาમอย่างมีนัยสำคัญ

บทที่ 4

ผลการศึกษาและวิเคราะห์ผล

4.1 บทนำ

บทนี้จะนำเสนอผลการศึกษาที่นำเสนอในบทที่ 3 โดยการเปรียบเทียบกำลังอัดของคินซีเมนต์บดอัดในทั้ง 3 รูปแบบเพื่อหาปัจจัยที่ทำให้เกิดความต่างอย่างมีนัยสำคัญต่อการพัฒนากำลังอัดของคินซีเมนต์ และจะสร้างทฤษฎีกำลังอัด พร้อมสมการทำนายกำลังอัดของคินซีเมนต์บดอัดที่มีความแม่นยำมากยิ่งขึ้น พร้อมทั้งนำเสนอขั้นตอนการปรับปรุงถอนที่ชำรุดด้วยเทคนิคการหมุนเวียนวัสดุชั้นทางเดินมาใช้ใหม่อย่างมีประสิทธิภาพ

4.2 การทดสอบปัจจัยที่มีผลต่อกำลังรับแรงของคินซีเมนต์

ดำเนินการทดสอบว่าประชากรมีการแจกแจงแบบปกติหรือไม่โดยใช้ Kolmogorov-Smirnov Test จำนวนตัวอย่างทั้งสิ้น 156 ตัวอย่าง ระดับนัยสำคัญ (α) 0.05 ของกำลังรับแรงอัดของตัวอย่างที่ผสมในสารามและบดอัดในห้องปฏิบัติการ (q_{ufh}) และกำลังรับแรงอัดของตัวอย่างที่เตรียมในสาราม (q_{ufr})

ตารางที่ 4.1 สถิติตรวจสอบการแจกแจงโดยวิธี Kolmogorov-Smirnov tests ของ q_{ufh} และ q_{ufr}

	q_{ufh} Statistic	q_{ufr} Statistic
Mean	2872.43	2243.22
5% Trimmed Mean	2857.76	2217.29
Median	2835.00	2273.00
Std. Deviation	438.90	543.74
Minimum	2100.00	1342.50
Maximum	4045.20	3941.30
Range	1945.20	2598.80
Skewness	.351	.534
Kurtosis	-.152	.459
Kolmogorov-Smirnov Z	.588	.678
Asymp. Sig. (2-tailed)	0.879	0.748

พบว่า ค่า Sig.(2-tailed) มีค่า 0.879 และ 0.748 ตามลำดับ ซึ่งมีค่ามากกว่า 0.05 จึงสรุปได้ว่า มีการแจกแจงแบบปกติ

ตารางที่ 4.2 สถิติการทดสอบ Independent samples test to compare means ของ q_{ufl} และ q_{ufr}

	Levene's test for equality of variances		t-test for equality of means					
	F	Sig.	t	df	Sig. (2 tailed)	Mean difference	Std. error difference	
Equal variances assumed	2.404	.123	7.952	154	.000	629.212	79.122	
Equal variances not assumed			7.925	147.437	.000	629.212	79.122	

จึงทำการทดสอบค่าความแปรปรวนของประชากรทั้ง 2 เท่ากันหรือไม่ โดยตัวอย่างเป็นอิสระต่อ กัน (Independent samples test to compare means) ระดับนัยสำคัญ (α) 0.05 ต่อเนื่อง พบว่า ค่า Sig. เท่ากับ 0.123 มากกว่า 0.05 สรุปได้ว่า ความแปรปรวนของค่ากำลังรับแรงอัดของตัวอย่างที่ผสมในสنانมและบดอัดในห้องปฏิบัติการ (q_{ufl}) มีค่าพอกันกับความแปรปรวนของกำลังรับแรงอัดของตัวอย่างที่เตรียมในสنانม (q_{ufr}) จึงต้องตรวจสอบในบรรทัดที่ 1 ค่า Sig. (2 tailed) เท่ากับ 0.000 ซึ่งน้อยกว่า 0.05 จึงสรุปได้ว่า ค่ากำลังรับแรงอัดของตัวอย่างที่ผสมในสنانมและบดอัดในห้องปฏิบัติการ (q_{ufl}) มีค่ามากกว่ากำลังรับแรงอัดของตัวอย่างที่เตรียมในสنانม (q_{ufr})

$$q_{ufl} > q_{ufr} \text{ ระดับนัยสำคัญ } (\alpha) 0.05 \text{ หรือระดับความเชื่อมั่น } 95\%$$

ดำเนินการเปรียบเทียบค่ากำลังรับแรงอัดของตัวอย่างที่เตรียมในห้องปฏิบัติการ (q_{ul}) โดยใช้ตัวอย่าง จำนวน 4 ตัวอย่าง และกำลังรับแรงอัดของตัวอย่างที่ผสมในสنانมและบดอัดในห้องปฏิบัติการ (q_{ufl}) โดยใช้ตัวอย่าง จำนวน 78 ตัวอย่าง โดยใช้สถิติการทดสอบ Mann-Whitney test โดยตัวอย่างเป็นอิสระต่อ กัน ระดับนัยสำคัญ (α) 0.05 หรือระดับความเชื่อมั่น 95% เนื่องจากตัวอย่างมีการแจกแจงแบบไม่ปกติ

ตารางที่ 4.3 สถิติการทดสอบการแจกแจงแบบไม่ปกติแบบ Mann-Whitney test ของ q_{ul} และ q_{ufr}

Mann-Whitney test	Group	N	Mean Rank	Sum of Ranks
Measurements	Laboratory strength	4	44.50	178.00
	Field hand-compacted strength	78	41.35	3225.00
	Total	82		
Test statistics		Values		
Mann-Whitney U			144.000	
Wilcoxon W			3225.000	
Z			-.258	
Asymp. Sig. (2-tailed)			.796	
Exact Sig. [2*(1-tailed Sig.)]			.811	

พบว่า ค่า Asymp.Sig.(2-tailed) เท่ากับ 0.796 มากกว่า 0.05 จึงสรุปได้ว่ากำลังรับแรงอัดของตัวอย่างที่เครื่ยมในห้องปฏิบัติการ (q_{ul}) มีค่าเท่ากับกำลังรับแรงอัดของตัวอย่างที่ผสมในสนาม และบคัดในห้องปฏิบัติการ (q_{ufr})

$$q_{ul} = q_{ufr} \text{ ระดับนัยสำคัญ } (\alpha) 0.05 \text{ หรือระดับความเชื่อมั่น } 95\%$$

ลองตรวจสอบความแตกต่างระหว่างอัตราส่วนของ $\frac{q_{ufr}}{q_{ul}}$ ว่ามีการแจกแจงแบบปกติ หรือไม่ โดยใช้ Kolmogorov -Smirnov goodness-of-fit Test จำนวนตัวอย่างทั้งสิ้น 78 ตัวอย่าง ระดับนัยสำคัญ (α) 0.05

ตารางที่ 4.4 สถิติการทดสอบแบบ Kolmogorov-Smirnov goodness-of-fit ของ $\frac{q_{ufr}}{q_{ul}}$

Statistics	Values
N	78
Mean	.7640
Std. Deviation	.1599
Kolmogorov-Smirnov Z	.805
Asymp. Sig. (2-tailed)	.536
5 th Percentile	0.5194
95 th percentile	1.0547

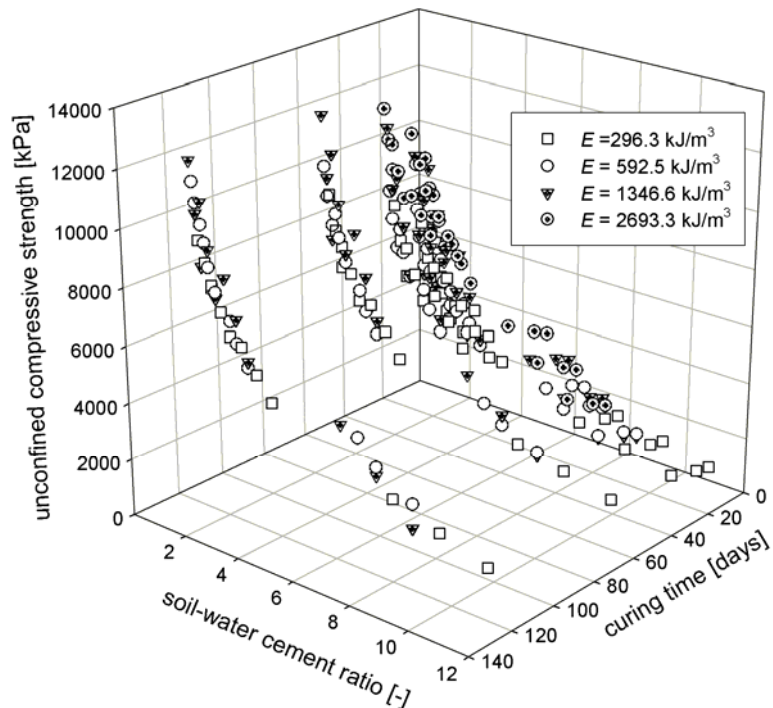
พบว่า ค่า Asymp.Sig. (2-tailed) เท่ากับ 0.536 มากกว่า 0.05 จึงสรุปได้ว่าอัตราส่วนระหว่างกำลังรับแรงอัดของตัวอย่างที่เตรียมในห้องปฏิบัติการ กับกำลังรับแรงอัดของตัวอย่างที่เตรียมในสนาม ($\frac{q_{ufr}}{q_{ul}}$) มีการแจกแจงแบบปกติ จาก 95th percentile เท่ากับ 1.0547 สรุปได้ว่า มีอยู่ 5% ที่มีค่า ($\frac{q_{ufr}}{q_{ul}}$) มากกว่า 1.0547 หรือประมาณ 1.05 และ 5th percentile เท่ากับ 0.5194 สรุปได้ว่า มีอยู่ 95% ที่มีค่า ($\frac{q_{ufr}}{q_{ul}}$) มากกว่า 0.5194 หรือประมาณ 0.52

สรุป จากข้อมูลทางสถิติพบว่า กำลังรับแรงอัดของตัวอย่างที่ผสมในสนามและบดอัดในห้องปฏิบัติการ (q_{ufr}) มีค่ามากกว่ากำลังรับแรงอัดของตัวอย่างที่เตรียมในสนาม (q_{ul}) ซึ่งกระบวนการจะแตกต่างกันในวิธีการบดอัด และการบ่ม การบดอัดในสนาม จะใช้รถบดล้อเหล็ก สั่นสะเทือน กับรถบดล้อยาง เป็นเครื่องมือในการบดอัด ซึ่งเป็นที่ยอมรับกันว่าการบดอัดในสนาม ด้วยวิธีดังกล่าวเหมาะสมและมีประสิทธิภาพเทียบเท่าการบดอัดในห้องปฏิบัติการที่สุดสำหรับการบดอัดดินเม็ดหิน และยังไม่มีวิธีใดที่มีประสิทธิภาพมากกว่าวิธีดังกล่าว จึงพожะสรุปได้ว่าวิธีการบดอัดไม่มีนัยสำคัญต่อกำลังอัดของดินซีเมนต์ที่ใช้เทคนิคการหมุนเวียนวัสดุชั้นทางเดินมาใช้งานใหม่ (Pavement Recycling) เพราะจะนั่นวิธีการบ่มจึงถูกเหมือนว่าจะมีผลต่อกำลังรับแรงอัดของดินซีเมนต์ ซึ่งการบ่มในสนามนั่นจะใช้เพียงรถนำสเปรย์ลงไป 2 ครั้งต่อวัน ซึ่งอาจไม่เพียงพอต่อการเกิดปฏิกิริยาไขเครชั่นที่สมบูรณ์ของดินซีเมนต์ และส่งผลต่อกำลังรับแรงอัดของดินซีเมนต์ที่เตรียมในสนาม

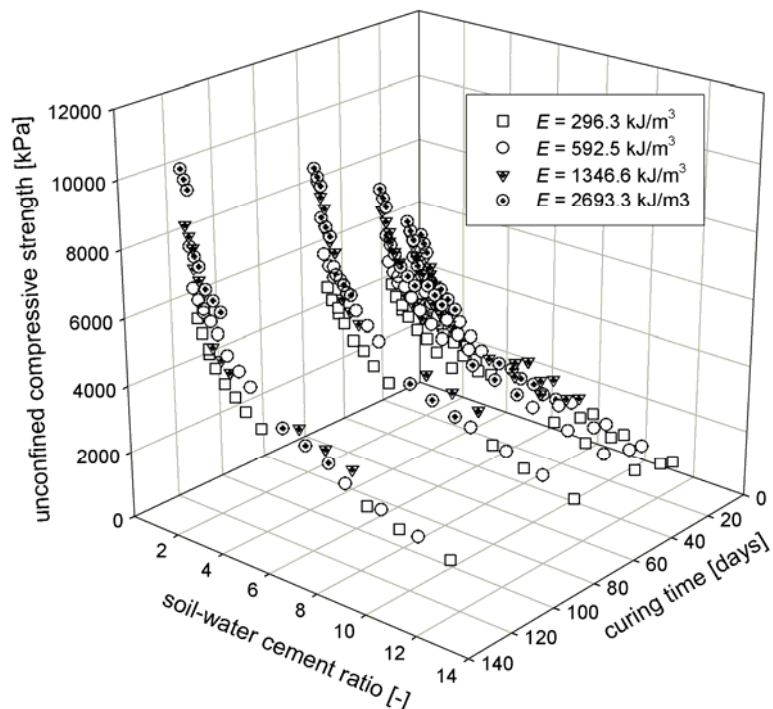
จากข้อมูลทางสถิติยังพบอีกว่าค่า กำลังรับแรงอัดของตัวอย่างที่เตรียมในห้องปฏิบัติการ (q_{ul}) มีค่าเท่ากับกำลังรับแรงอัดของตัวอย่างที่ผสมในสนามและบดอัดในห้องปฏิบัติการ (q_{ufr}) ซึ่งทั้งสองตัวอย่างมีปัจจัยที่แตกต่างกัน คือ วิธีการผสม จึงสรุปได้ว่าวิธีการผสมไม่มีนัยสำคัญต่อกำลังอัดของดินซีเมนต์

4.3 แบบจำลองเพื่อทำนายกำลังรับแรงอัดโดยการวิเคราะห์ความถดถอย

นำข้อมูลเขียนกราฟแสดงความสัมพันธ์ในลักษณะ 3 แกน ระหว่างกำลังอัด Water-Cement Ratio และระยะเวลาในการบ่มในห้องปฏิบัติการ แยกตามพลังงานในการบดอัดของดิน Lateritic Soil และ Crushed Rock จะพบว่ากำลังของดินซีเมนต์จะเพิ่มขึ้นเมื่อระยะเวลาในการบ่มเพิ่มขึ้นและอัตราส่วนระหว่างน้ำต่อซีเมนต์ลดลง

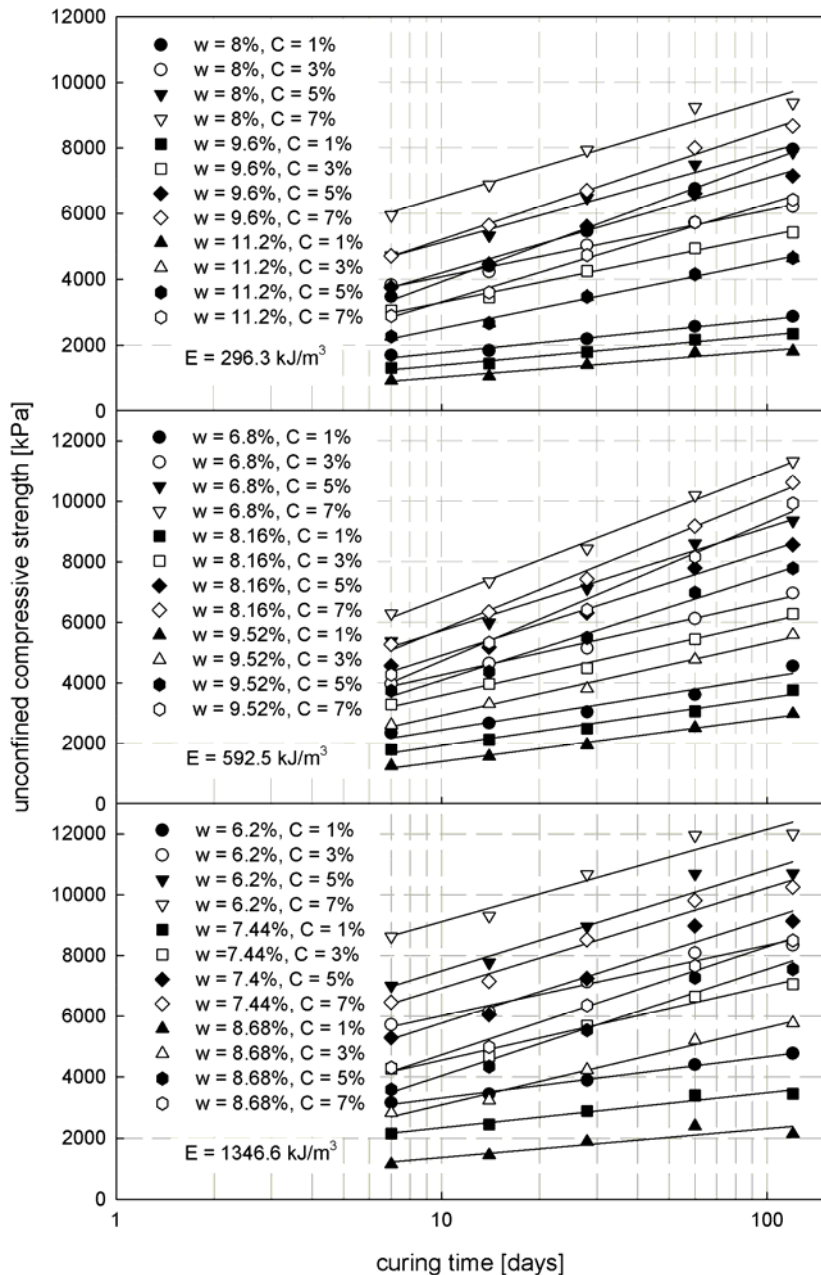


รูปที่ 4.1 ความสัมพันธ์ระหว่างค่า q_u , w/C และเวลาบ่ม D ของดินลูกรัง

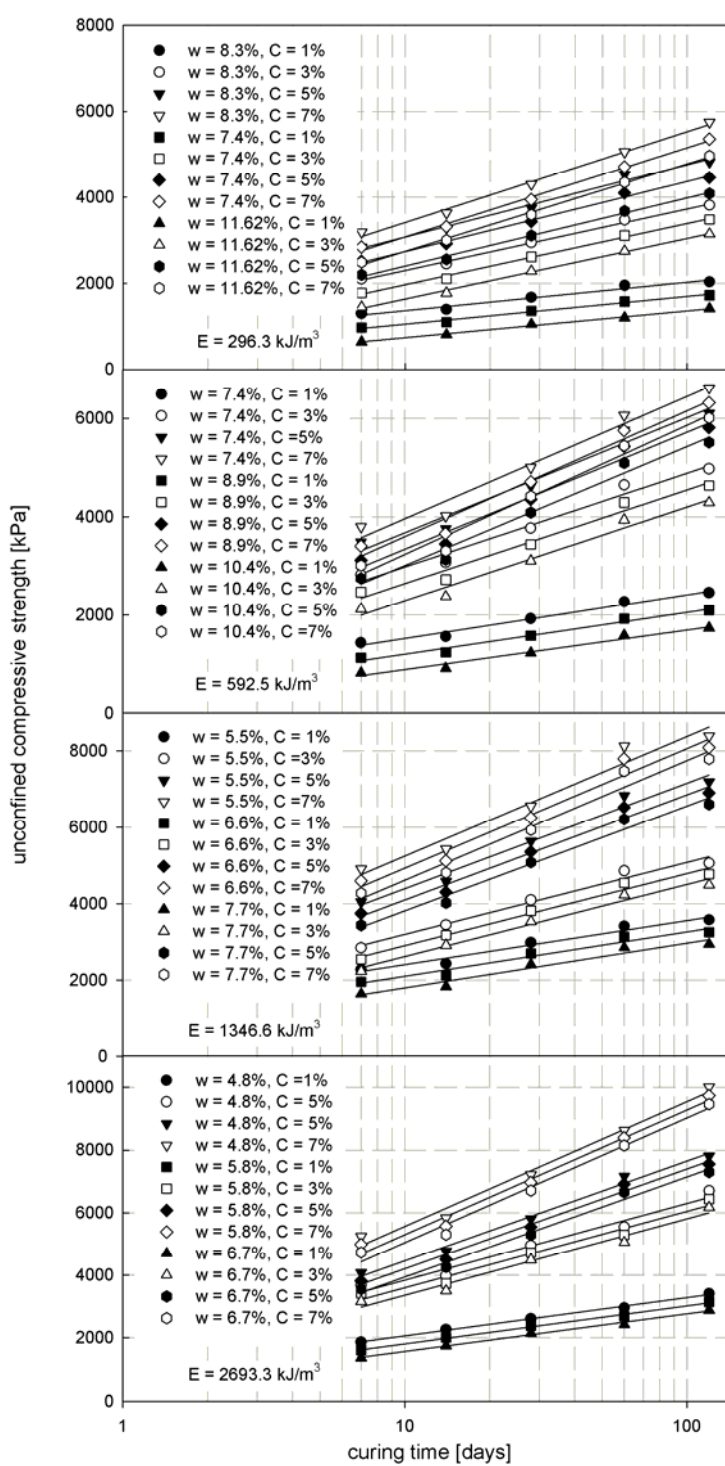


รูปที่ 4.2 ความสัมพันธ์ระหว่างค่า q_u , w/C และเวลาบ่ม D ของทินคลุก

เมื่อนำข้อมูลมาเขียนกราฟความสัมพันธ์ระหว่างกำลังอัดของดินซีเมนต์และระยะเวลาในการบ่มในกราฟ ล็อกโดยแยกออกเป็นดินลูกรัง (Lateritic Soil) และหินคลุก (Crushed Rock) โดยแยกตามพลังงานที่ใช้ในการบดอัดและอัตราส่วนน้ำต่อซีเมนต์จะได้



รูปที่ 4.3 ความสัมพันธ์ระหว่างกำลังอัดแกนเดียวกับอายุบ่มของ Lateritic soil



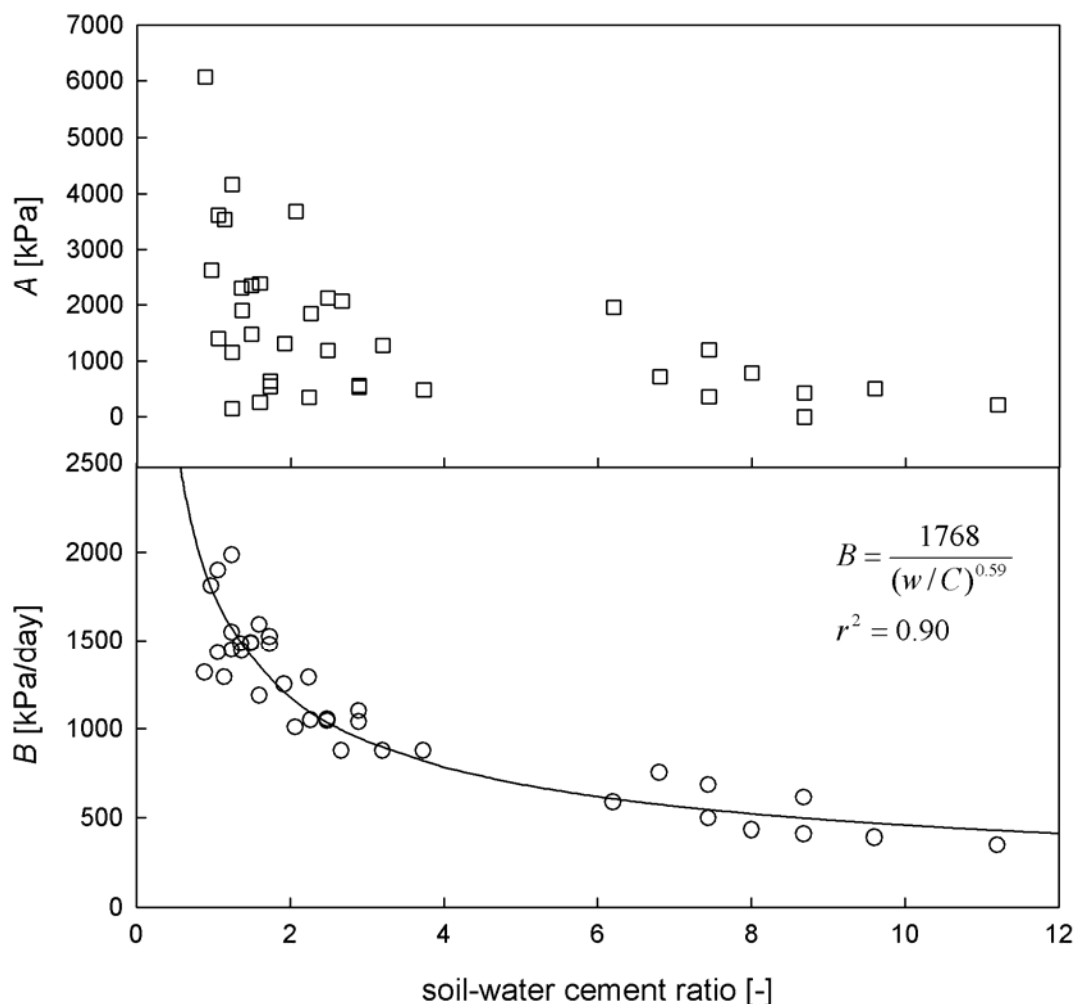
รูปที่ 4.4 ความสัมพันธ์ระหว่างกำลังอัดแกนเดียวกับอายุบ่มของ Crushed rock

ซึ่งอาจเขียนสมการความสัมพันธ์ได้ว่า

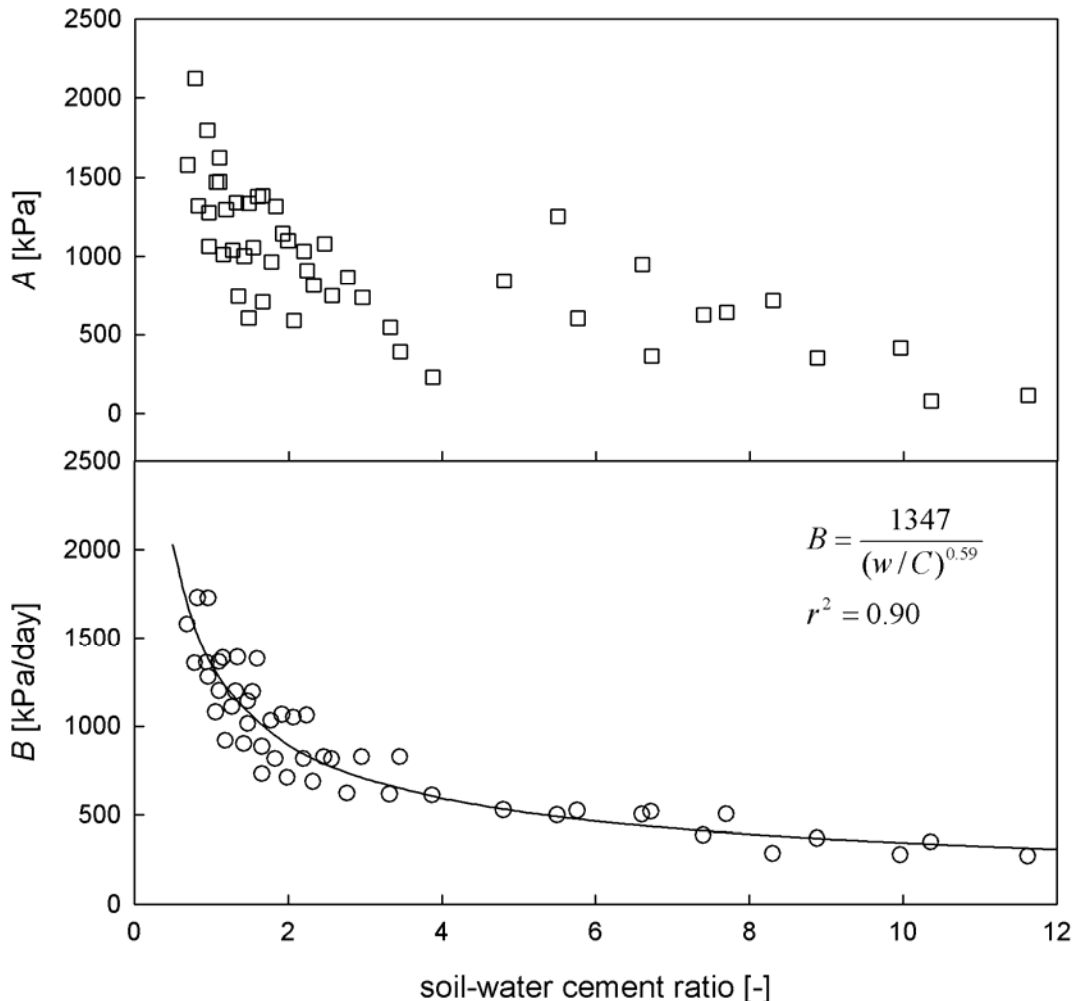
$$q_u = A' + B \log_{10} D \quad (4.1)$$

เมื่อ q_u คือ กำลังต้านแรงอัดแกนเดียวที่ระยะบ่มค่าหนึ่ง
 A' คือ ค่าคงที่ที่ขึ้นอยู่กับชนิดของดิน
 B คือ ค่าคงที่ที่ขึ้นอยู่กับชนิดของดิน
 D คือ ระยะเวลาในการบ่ม (วัน)

ลองเขียนกราฟความสัมพันธ์ของค่าคงที่ A' , B กับ w/C ดังรูป



รูปที่ 4.5 ความสัมพันธ์ระหว่าง A' , B และ w/C ของ Lateritic soil



รูปที่ 4.6 ความสัมพันธ์ระหว่าง A' , B และ w/C ของ Crushed Rock

ซึ่งจากกราฟพบว่าค่า B มีแนวโน้มที่จะมีความสัมพันธ์กับค่า w/C ซึ่งสามารถเขียน
สมการความสัมพันธ์ได้ดังนี้

$$B = \frac{b}{(w/C)^\beta} \quad (4.2)$$

เมื่อ b คือ ค่าคงที่ที่ขึ้นอยู่กับชนิดของดิน

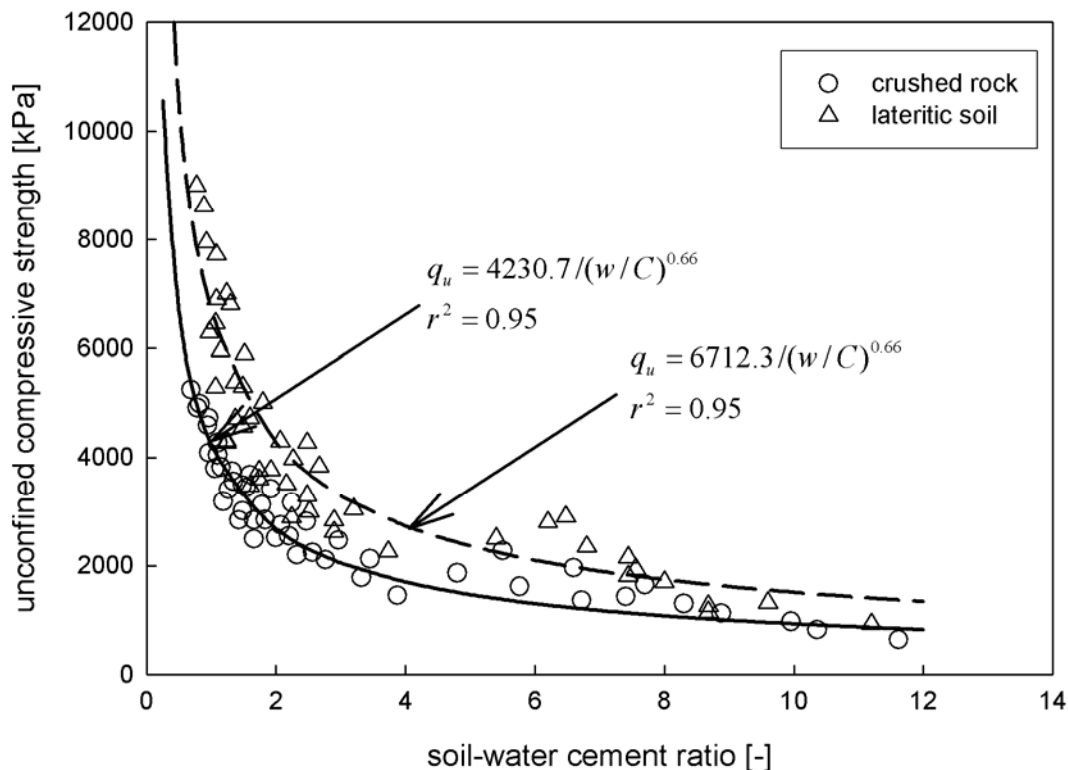
β คือ ค่าคงที่

w/C คือ Clay- water/Cement ratio และมีนิยามว่าเป็นอัตราส่วนระหว่าง
ปริมาณความชื้นในดินต่อปริมาณซีเมนต์

ซึ่งจากการวิเคราะห์ความถดถอยจะได้ค่า b มีค่า 1347 และ 1768 สำหรับหินคลุก และ ดินลูกรัง แต่สำหรับค่า β พบร่วมกันที่คือ 0.59 ไม่ขึ้นอยู่กับชนิดของดิน

ส่วนค่า A ยังไม่พบแนวโน้มที่มีความสัมพันธ์กับค่า w/C

ลองเปลี่ยนระยะเวลาเป็นการบ่มที่ 7 วัน โดยให้ค่านี้เป็น A แล้วเขียนกราฟความสัมพันธ์ระหว่างกำลังอัดและปริมาณความชื้นในดินต่อปริมาณซีเมนต์



รูปที่ 4.7 ความสัมพันธ์ระหว่าง A และ w/C ของ Lateritic soil และ Crushed Rock

ซึ่งจากการพบร่วมกันที่ A มีแนวโน้มที่จะมีความสัมพันธ์กับค่า w/C ซึ่งสามารถเขียนสมการความสัมพันธ์ได้ดังนี้

$$A = \frac{a}{(w/C)^\alpha} \quad (4.3)$$

เมื่อ a คือ ค่าคงที่ที่ขึ้นอยู่กับชนิดของดิน

α คือ ค่าคงที่

w/C คือ Clay- water/Cement ratio และมีนิยามว่าเป็นอัตราส่วนระหว่างปริมาณความชื้นในดินต่อปริมาณซีเมนต์

ซึ่งจากการวิเคราะห์ความถดถอยจะได้ค่า a มีค่า 4230.70 และ 6712.30 สำหรับหินคลุก และหินลูกรัง แต่สำหรับค่า α มีค่า 0.65 และ 0.66 ซึ่งแตกต่างกันน้อยมาก อาจใช้ค่าที่เป็นตัวแทนคือ 0.65 ได้โดยไม่ต้องคำนึงถึงชนิดของดิน

ซึ่งจากข้อมูลทั้งหมดอาจเปลี่ยนสมการทำนายกำลังอัดของดินซีเมนต์ โดยใช้ค่าฐานการบ่มที่ 7 วัน ได้ดังนี้ คือ

$$q_u = \frac{a}{(w/C)^{0.65}} + \frac{b}{(w/C)^{0.59}} \log_{10}(D - 6) \quad (4.4)$$

จากสมการทำนายกำลังอัดของดินซีเมนต์ ดังกล่าวจะสามารถคำนวณหาค่ากำลังอัดของดินซีเมนต์ที่มีระยะเวลาในการบ่มมากกว่า 7 วัน ได้โดยใช้ค่าฐานการบ่มที่ 7 วัน จะพบว่ามีค่าคงที่ที่ไม่รู้อยู่เพียง 2 ค่าเท่านั้น คือ ค่า a และ b ซึ่งเป็นค่าคงที่ขึ้นอยู่กับชนิดของดิน หากดำเนินการ Trial Design ก็จะสามารถใช้ตัวอย่างที่บดอัดเพียง 2 ตัวอย่าง ในอัตราส่วนค่า w/C ที่ต่างกันก็จะสามารถใช้กำลังอัดที่ต้องการ เพื่อทำนายหาค่า w/C ที่จะให้ค่ากำลังอัดตามที่ออกแบบได้

ได้ใช้ข้อมูลของ Ruenkrairergsa และคณะ (2001) เป็นข้อมูลฐานในการทำนายกำลังอัดของดินซีเมนต์ เทียบกับกำลังอัดที่ได้จากห้องปฏิบัติการ วัดดูที่ใช้เป็นหินลูกรัง มีค่าขีดจำกัดเหลว 36% และขีดจำกัดพลาสติก 16%

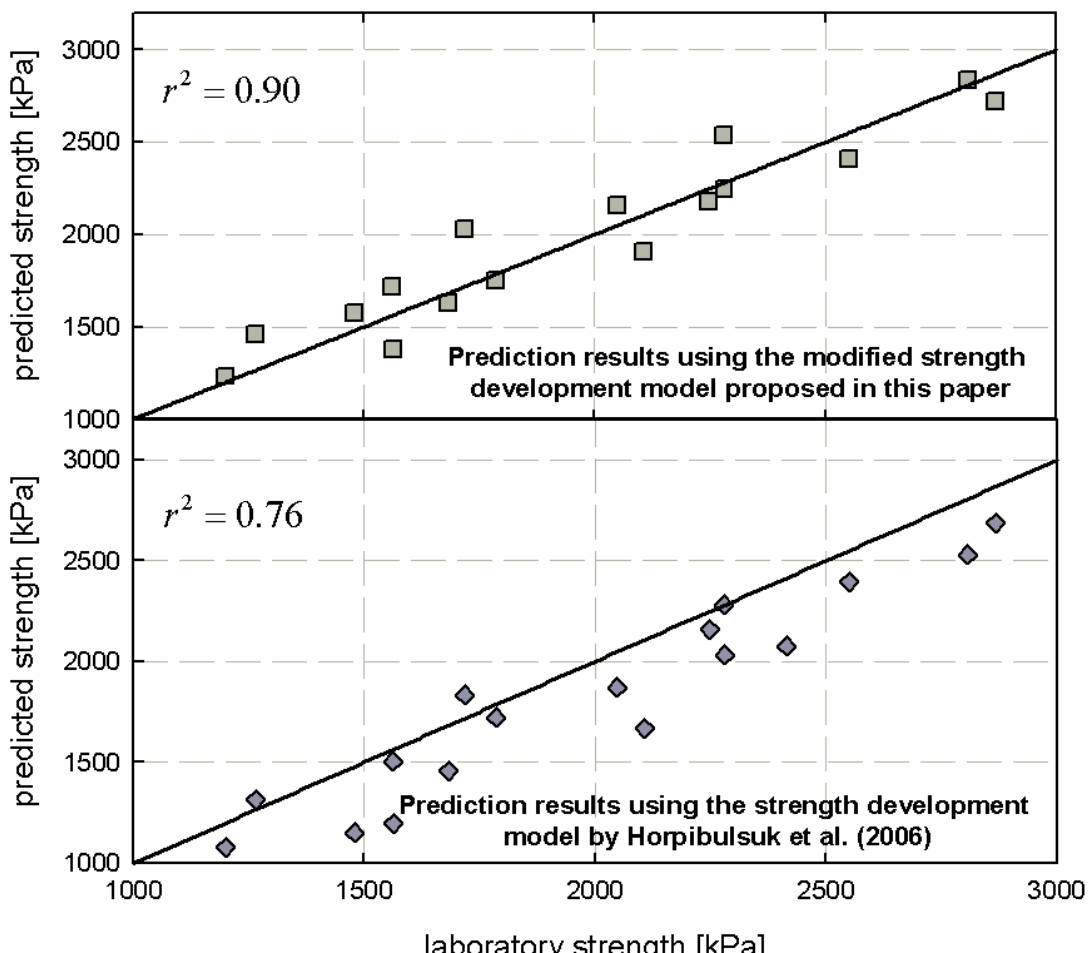
ตารางที่ 4.5 กำลังรับแรงอัดในห้องปฏิบัติการ Lateritic soil (Ruenkrairergsa และคณะ, 2001)

Curing time [days]	Water content [%]	Cement content [%]	w/C [-]	Laboratory strength [kPa]	Predicted strength [-]
7	13.5	3	4.5	1200	1233.1
7	13.5	5	2.7	1562	1718.7
7	13.5	7	1.9	2048	2159.8
14	13.5	3	4.5	1265	1461.2
14	13.5	5	2.7	1718	2027.0
14	13.5	7	1.9	2279	2539.1
28	13.5	3	4.5	1479	1572.1
28	13.5	5	2.7	2248	2177.0
28	13.5	7	1.9	2868	2723.6

ตารางที่ 4.5 (ต่อ)

Curing time [days]	Water content [%]	Cement content [%]	w/C [-]	Laboratory strength [kPa]	Predicted strength [-]
7	11.5	3	3.8	1563	1376.4
7	11.5	5	2.3	2107	1907.5
7	11.5	7	1.6	2415	Ref.
14	11.5	3	3.8	1682	1628.4
14	11.5	5	2.3	2281	2246.4
14	11.5	7	1.6	2807	2834.8
28	11.5	3	3.8	1786	1751.0
28	11.5	5	2.3	2551	2411.3
28	11.5	7	1.6	3039	Ref.

และได้ลองเปรียบเทียบกับสมการทำงานยกกำลังอัตราส่วนของ โดย Horpibulsuk และคณะ (2006) โดยการเขียนในกราฟเส้น 1:1 แล้วให้แสดงค่า r^2



รูปที่ 4.8 เปรียบเทียบผลการคำนากำลังรับแรงอัด เทียบกับ เส้น 1:1

จะพบว่าสมการที่พัฒนาจะได้ค่า r^2 ที่สูงกว่าสมการเดิม เป็นการพิสูจน์ว่าสมการที่เสนอ มีความถูกต้องใกล้เคียงกับค่าที่เกิดขึ้นจริงมากกว่าสมการเดิม

บทที่ 5

บทสรุป

งานวิจัยนี้มุ่งเน้นไปที่แบบจำลองทำนายกำลังอัดดินซีเมนต์ โดยวิธีเทคนิคการหมุนเวียนรัศมุนทางเดินกลับมาใช้ใหม่ จากข้อมูลทางสถิติจะพบว่า

ค่ากำลังอัดของดินซีเมนต์ที่คำนวณในสนามจะมีค่าน้อยกว่าในห้องปฏิบัติการ

จากอัตราส่วนระหว่างค่ากำลังอัดในสนามต่อกำลังอัดในห้องปฏิบัติการพบว่า มีการแจกแจงแบบปกติ และมีอยู่ 5 ลำดับที่อัตราส่วนดังกล่าวต่ำกว่า 0.52 ที่ความเชื่อมั่น 95 % หรือสรุปได้ว่า หากต้องการกำลังอัดในสนามที่มีค่าเท่ากับหรือมากกว่ากำลังอัดในห้องปฏิบัติการที่มีความเชื่อมั่น 95 % ต้องมีการซัดเฉยจำนวน 2 เท่า หรือใช้อัตราส่วนความปลดภัย 2 เท่า

จากการเปรียบเทียบค่าเฉลี่ยของกำลังอัดในสนามกับในห้องปฏิบัติการพบว่า ปัจจัยที่มีผลต่อการพัฒนากำลังอัดในสนามอย่างแท้จริง บ่งชี้ว่าเป็นวิธีการบ่ม ซึ่งความมีการปรับปรุงวิธีการให้มีประสิทธิภาพ และมีความใกล้เคียงกันในห้องปฏิบัติการมากยิ่งขึ้น

แบบจำลองเพื่อทำนายกำลังอัดของดินซีเมนต์ พบว่ามีค่าคงที่ซึ่งขึ้นอยู่กับชนิดของดินอยู่ 2 ค่า คือ a กับ b และสมการสามารถใช้ได้สำหรับดินที่มีเม็ดดินขนาดค่อนข้างใหญ่ (Coarse Grain Soil) ตามสมการ

$$q_u = \frac{a}{(w/C)^{0.65}} + \frac{b}{(w/C)^{0.59}} \log_{10}(D - 6) \quad (5.1)$$

ซึ่งค่า a และ b สามารถคำนวณหาค่าได้ โดยการทดสอบดินซีเมนต์ที่ค่า w/C แตกต่างกันเพียง 2 ค่า ก็จะสามารถหาค่าคงที่ดังกล่าวได้ และเมื่อแทนค่าลงในสมการก็จะสามารถคำนวณหำกำลังอัดที่ระยะในการบ่ม D ได้

เมื่อมีการเปรียบเทียบกับสมการที่มีการเสนอไว้เดิมก็พบว่า มีความถูกต้องมากกว่าโดยคูณได้จากค่า r^2

เอกสารอ้างอิง

- กัลยา วนิชย์บัญชา (2553). การวิเคราะห์สถิติ : สถิติสำหรับการบริหารและการวิจัย. พิมพ์ครั้งที่ 12. โรงพิมพ์แห่งจุฬาลงกรณ์มหาวิทยาลัย.
- ทรงพล บุญมาดี (2529). ความสัมพันธ์ระหว่าง Unconfined Compressive Strength กับ Unsoaked CBR ของดินลูกรังผสมซีเมนต์. วิทยานิพนธ์ปริญญาวิศวกรรมศาสตร์มหาบัณฑิต สาขา วิศวกรรมโยธา สถาบันพระจอมเกล้าธนบุรี.
- ธีรชาติ รื่นไกรฤกษ์ และสมบัติกระແສ จรัสกร (2544). กำลังรับแรงอัดของดินซีเมนต์ที่มีความหนาแน่นแตกต่างกัน. รายงานวิจัยฉบับที่ วพ.188 ศูนย์วิจัยและพัฒนางานทาง กรมทางหลวงกระทรวงคมนาคม. 160-163.
- A.A. Luondon & Partner Consulting Engineers. (1995). Cold Deep In Place Recycling: Technical Recommendations and Application Specification. South Africa. A.A. Luondon.
- Atkinson, P.W. (1995). Advacrete/Cement Additive for Stabilization. **Pavement Rehabilitation Workshop**. 24 & 25 August 1995. Queensland. 1-38.
- Bell, F.G. (1976) .The influence of the mineral content of clay on their stabilization with cement. **Association of Engineering Geologists**. 267 – 278.
- Circeo, L.T., Davidson, D.T. and David, H.T. (1962). Strength Maturity Relation of Soil-Cement Mixtures. **Iowa State University for 41th Annual Meeting of the Highway Research Board**. 35-45.
- Clare, K.E. and Pollard, A.E. (1951). The Relationship Between Compressive Strength and Age for Soil Stabilized with Four Type of Cement. **Magazine of Concrete Research**. 3(8):57-64.
- Czernin, W. (1962). Cement Chemistry and Physics for Civil Engineers. **New York Chemical Publishing**. 36-50.
- Davidson, D.T., Katti, R.K. and Welch, D.E. (1958). Use of Fly Ash with Portland cement for Stabilization of Soil. **Highway Research Board**. Bulletin 198. 1-11.
- Davidson, D.T. and Bruns, B.W. (1960). Comparison of Type I and Type III Portland Cement for Soil Stabilization. **Highway Research Board**. Bulletin 267. 28-45.62
- Davidson, D.T. (1961). Soil Stabilization with Portland cement. **Highway Research Board**. Bulletin 292. 45-151.

- Davidson, D.T., Pitre, G.L., Mattoes, M. and Kalankamary, P.G. (1962). Moisture-Density, Moisture-Strength and Compaction Characteristics of Cement Treated Soil Mixtures. **Highway Research Board.** Bulletin. 353. 42-63.
- Felt, E.J. (1955). Factor Influencing Physical Properties of Soil-Cement Mixtures. **Highway Research Board.** Bulletin 108. 138-163.
- Fuller, M.G. and Dabney, G.W. (1952). Stabilizing Weak and Defective Bases with Hydrated Lime. **Roads and Streets.** 95: 64-69.
- Gordon, R.G. (1984). Recent Experiences and Developments in Design and Construction of Cement Stabilized Pavement. **Australian Road Research Board Symposium.**
- Herzog, A. and Mitchell, J.K. (1963). Reaction Accompanying the Stabilization of Clay with Cement. **Highway Research Record.** 36: 146-171.
- Highway Research Board, (1949). Prevention of Moisture Loss in Soil-Cement with Bituminous Material. **Highway Research Board.** Research Report. 353.
- Highway Research Board Committee on Soil-Cement Stabilization. (1959). Definition of Term Relating to Soil-Portland Cement Stabilization. **Highway Research Abstracts,** 29(6): 28-29.
- Horpibulsuk, S. and Miura, N. (2001). A new approach for studying behavior of cement stabilized clays. **Proceeding of 15th International Conference on Soil Mechanics and Geotechnical Engineering.** Turkey. 3: 1759-1762.
- Horpibulsuk, S., Miura, N. and Nagaraj, T.S. (2003). Assessment of strength development in cement admixed clays. **Geotechnique.** 53(4): 439-444.
- Horpibulsuk, S., Miura, N., Nagaraj, T.S. and Koga, H. (2002). Improvement of soft marine clays by deep mixing technique. **Proceeding of 12th International Conference Offshore and Polar Engineering.** Kitakyushu. Japan. 584-591.
- Horpibulsuk, S. and Miura, N. (2006). Strength development in cement stabilized low plasticity and coarse grained soils: laboratory and field study. **Soil and foundations.** Vol.46, No.3, Japanese Geotechnical Society. 351-366
- Hogentogler, C.A. (1938). **Engineering Properties of the Soils.** New York. McGraw-Hill. 9-18.
- Ingles, O.G. and Metcalf, J.B. (1972). **Soil Stabilization.** Sydney. Butterworths. 64-69.63

- Kawasaki, T., Niina, A., Saitoh, S., Suzuki, Y. and Honjo, Y. (1981). Deep mixing method using cement hardening agent. **Proceedings of 10th International Conference on Soil Mechanics and Foundation Engineering.** Stockholm. 721-724.
- Kuhlman, R.H. (1989). Soil-Cement from Recycled Pavement. **Concrete International Design and Construction.** 11(5): 35-38.
- Lade, P.V. and Overton, D.D. (1989). Cementation Effects in Frictional Material. **Journal of Geotechnical Engineering.** 115(9): 1373-1387.
- Lambe, T.W. and Moh, Z.C. (1957). Improvements of Strength of Soil-Cement with Additive. **Highway Research Board.** Bulletin. 183. 38-47.
- Lambe, T.W., Michaels, A.S. and Moh, Z.C. (1959). Improvement of Soil Cement with Alkali Metal Compounds. **Highway Research Board.** Bulletin 241. 67-103.
- Leadabrand, J.A. (1956). Some Engineering Aspects of Soils-Cement Mixture. **Mid-South Section. ASCE.** April 27. 64-69.
- Lightsey, G.R., Arman, A. and Callihan, C.D. (1970). Change in Characteristics of Cement Stabilized Soils by Addition of Excess Compaction Moisture. **Highway Research Record.** 315: 36-45.
- Maclean, D.J., Robinson, P.J.M. and Webb, S.B. (1952). An Investigation of the Stabilization of Heavy Clay Soil with Cement for Road Base Construction. **Roads and Road Construction.** 3(358): 287-292.
- Maner, A.W. (1952). Curing Soil Cement Base. **Proceeding of Highway Research Board.** Vol. 31. Washington. D.C., National Research Council, 540-558.
- Marshall, T.J. (1954). Some Properties of Soil Treated with Portland cement. **Symposium on Soil Stabilization.** Australia. 28-34.
- Massachusetts Institute of Technology, (1954). Soil Stabilization for Highways. Massachusetts. **Massachusetts Department of Public Works and Joint Highway Research Project.** 81.
- Mills, W.H., Jr. (1935). Road Base Stabilization with Portland cement. **Engineering News-Record,** 115(22): 751-753.
- Mills, W.H., Jr. (1936). Stabilizing soils with Portland cement, Experiments by South Carolina Highway Department. **Highway Research Board Proceedings.** 16: 322-347. 64

- Mitchell, J.K. and El Jack, S.A. (1966). The fabric of soil-cement and its formation. **Proceedings of 14th National Conference Clay and Clay Minerals.** 26: 297-305.
- Miura., N., Horpibulsuk, S. and Nagaraj, T.S. (2001). Engineering behavior of cement stabilized clay at high water content. **Soils and Foundations.** 41(5): 33-45.
- Moh, Z.C. (1965). Reaction of Soil Minerals with Cement and Chemicals. **Highway Research Record.** 86: 39-61.
- Moh, Z.C., Chin, Y.P., and Ng, S.C. (1967). Cement stabilization of lateritic soil. **Proceeding 3rd Asian Regional Conference on Soil Mechanics and Foundation Engineering.** 42-46.
- Ng, S.C. (1966). Cement Stabilization of Lateritic Soils. **Master of Engineering Thesis.** Civil Engineering Program. No. 125. Seato Graduate School of Engineering. 55-65.
- Norling, L.T. and Packard, R.G. (1958). Expanded Short-Cut Test Method for Determining Cement Factors for Sandy Soil. **Highway Research Board.** Bulletin. 198. 20-31.
- Pendola, H.J., Kennedy, T.W. and Hutson, W.R. (1969). Evaluation of Factors Affecting the Tensile Properties of Cement-Treated Materials. **University of Texas at Austin Research Report.** 98(3)
- Pinto, C.D.S., Davidson, D.T. and Laguros, J.G. (1962). Effect of Lime on Cement Stabilization of Monmorillonitic Soils. **Highway Research Board.** Bulletin 353. 64-83.
- Portland cement Association, (1959). Soil-Cement Laboratory Handbook. **Illinois, Skokie.**
- Redus, J.F. (1958). Study of Soil-Cement Base Courses on Military Airfields. **Highway Research Board.** Bulletin. 198. 13-19.
- Reinhold, F. (1955). Elastic Behavior of Soil-Cement Mixtures. **Highway Research Board.** Bulletin. 108. 128-137.
- Ruenkrairergsa, T. (1982). Principle of Soil Stabilization. **Group Training in Road Construction.** Bangkok. Thailand. 17-26.
- Ruenkrairergsa, T. (1982). **Principle of Soil Stabilization.** Bangkok. Highways Department. 17-27.
- Shackel, B. and Lee, R.H.F. (1974). Some Aspect of Curing of Soil-Cement. **The 7th Conference of the Australian Road Research Board.** 7(7): 5-17.
- Tabensky, W. (1990). Road Recycling in US. **Shirr of Buln Buln Memo.** 83: 66-73. 65

- Terrel, R.J., Barenberg, E.J., Mitchell, J.M. and Thomson, M.R. (1979). **Soil Stabilization in Pavement Structure a User's Manual Mixture Design Consideration.** Vol. 2. Washington D.C. Government Printing Office.
- Terashi, M., Tanaka, H. and Okumura, T. (1979). Engineering properties of lime treated marine soils and DMM. **Proceedings of 6th Asian Regional Conference on Soil Mechanics and Foundation Engineering.** 1: 191-194.
- The Siam Cement Company Ltd. (1965). Demonstration Road Using Local Soil with Cement Stabilization. Bangkok. Thailand. Siam Cement. 25-26.
- Walton, J.E. (1995). Cold In Place Recycling Result and Procedures Most Often Ask Question and Answers. **Pavement Rehabilitation Workshop.** 25 & 25 August 1995. Queensland. 1-15.
- Wang, M.C. and Huston, M.T. (1972). Direct-Tensile Stress and Strain of Cement Stabilize Soil. **Highway Research Record.** 351: 19-24.
- Winterkorn, H.F. and Chandrasekharn, E.C. (1951), "Lateritic Soil and Their Stabilization", **Highway Research Board.** Bulletin. 44, 10-29.
- Wilmot, T.D. (1995). Selection of Additive for Stabilization and Recycling of Road Pavement. **Pavement Rehabilitation Workshop.** 24&25 August 1995. Queensland. 1-14.
- Wirtgen. (1992). Cold Recycling. **An Economic and Ecologically Construction Process.** West Germany. Wirtgen.

ประวัติผู้เขียน

นายมงคล ดัชนี^๑ เกิดเมื่อวันที่ 16 สิงหาคม พ.ศ. 2516 จบการศึกษาในระดับ มัธยมศึกษาตอนต้น และมัธยมศึกษาตอนปลาย จากโรงเรียนชัยภูมิภักดีชุมพล จังหวัดชัยภูมิในปี พ.ศ.2535 เข้ารับการศึกษาในระดับปริญญาตรีในสาขาวิศวกรรมโยธา คณะวิศวกรรมศาสตร์ มหาวิทยาลัยขอนแก่น จังหวัดขอนแก่น และสำเร็จการศึกษามেื่อปี พ.ศ. 2539 หลังจากจบการศึกษา ได้ปฏิบัติงานในบริษัทเอกชนเป็นเวลาประมาณ 2 ปี จนนั้นได้บรรจุเป็นข้าราชการในตำแหน่ง วิศวกร โยธา 3 ฝ่ายวิชาการ สำนักงานโยธาธิการจังหวัดสิงห์บุรี กรมโยธาธิการ กระทรวงมหาดไทย ปี พ.ศ.2544 ได้ขึ้นมาดำรงตำแหน่ง วิศวกรวิชาชีพ 4 (วิศวกรรม โยธา) ฝ่ายวิชาการ สำนักงาน โยธาธิการจังหวัดชัยภูมิ ตามพระราชบัญญัติ ปรับปรุง กระทรวง ทบวง กรม พ.ศ.2545 ได้มีการตั้ง กรมทางหลวงชนบท สังกัดกระทรวงคมนาคมขึ้น จึงได้ขึ้นมาสังกัดสำนักงานทางหลวงชนบท จังหวัดชัยภูมิ ปัจจุบันดำรงตำแหน่งวิศวกร โยชาชำนาญการพิเศษ ฝ่ายวิชาการ สำนักทางหลวง ชนบทจังหวัดชัยภูมิ ทำงานที่เกี่ยวข้องกับงานด้านวิศวกรรมทาง ทำให้เกิดแรงจูงใจที่จะศึกษา ต่อในระดับปริญญาโท ด้านวิศวกรรมศาสตร์ เพื่อเป็นการพัฒนาความรู้และความสามารถให้ ตนเอง จึงได้เข้าศึกษาต่อตามหลักสูตรวิศวกรรมศาสตร์มหาบัณฑิต การบริหารงานก่อสร้างและ สาธารณูปโภค สาขาวิศวกรรมโยธา สำนักวิชาชีวิศวกรรมศาสตร์ มหาวิทยาลัยเทคโนโลยีสุรนารี ในปี พ.ศ.2551